

Glavni projekt primarnog i sekundarnog lukobrana luke Krilo Jesenice

Sladoja, Maja

Master's thesis / Diplomski rad

2023

Degree Grantor / Ustanova koja je dodijelila akademski / stručni stupanj:

University of Split, Faculty of Civil Engineering, Architecture and Geodesy / Sveučilište u Splitu, Fakultet građevinarstva, arhitekture i geodezije

Permanent link / Trajna poveznica: <https://urn.nsk.hr/urn:nbn:hr:123:080541>

Rights / Prava: [In copyright/Zaštićeno autorskim pravom.](#)

*Download date / Datum preuzimanja: **2024-05-09***

Repository / Repozitorij:



[FCEAG Repository - Repository of the Faculty of Civil
Engineering, Architecture and Geodesy, University
of Split](#)



**SVEUČILIŠTE U SPLITU
FAKULTET GRAĐEVINARSTVA ARHITEKTURE I GEODEZIJE**

DIPLOMSKI RAD

Maja Sladoja

Split, 2023.

**SVEUČILIŠTE U SPLITU
FAKULTET GRAĐEVINARSTVA ARHITEKTURE I GEODEZIJE**

Maja Sladoja

**Glavni projekt primarnog i sekundarnog lukobrana
luke Krilo Jesenice**

Diplomski rad

Split, 2023.

**SVEUČILIŠTE U SPLITU
FAKULTET GRAĐEVINARSTVA, ARHITEKTURE I GEODEZIJE**

STUDIJ: DIPLOMSKI SVEUČILIŠNI STUDIJ GRAĐEVINARSTVA

KANDIDAT: MAJA SLADOJA

MATIČNI BROJ (JMBAG): 0083221863

KATEDRA: Katedra za GEOTEHNIKU

PREDMET: GEOTEHNIČKO INŽENJERSTVO

ZADATAK ZA DIPLOMSKI RAD

Tema: Glavni projekt primarnog i sekundarnog lukobrana luke Krilo Jesenice

Opis zadatka: Za predmetnu lokaciju izrađeni su geotehnički istražni radovi. Izvještaj o izrađenim geotehničkim istražnim radovima prilog je ovog zadatka. Na predmetnoj lokaciji nalaze se postojeći lukobrani koji se rekonstruiraju. Potrebno je izraditi glavni projekt primarnog i sekundarnog lukobrana u rekonstruiranom stanju.

**U Splitu, 10.ožujka 2023.godine
Voditelj Diplomskog rada;**

Prof.dr.sc. Predrag Miščević

**Predsjednik Povjerenstva
za završne i diplomske ispite:
Izv. prof. dr. sc. Ivan Balić**

Glavni projekt primarnog i sekundarnog lukobrana luke Krilo Jesenice

Sažetak:

U ovom radu obrađena je tema stabilnosti već postojećih lukobrana na predmetnoj lokaciji u lučici Krila Jesenice. Prikazana je analiza statičke i seizmičke stabilnosti koji nisu zadovoljavali granična stanja nosivosti ni uporabljivosti te je predloženo rješenje u vidu sanacije. Prikazani su rezultati analize nakon što se u obzir uzeo utjecaj sanacije te se dao prijedlog o prihvaćanju iste.

Ključne riječi:

Lukobran, sanacija, statička stabilnost, seizmička stabilnost

The main project of the primary and secondary breakwater of the port of Krilo Jesenice

Abstract:

In this diploma thesis, the topic of stability of already existing breakwaters at the location in question in the port of Krilo Jesenice is covered. An analysis of static and seismic stability was presented, and it did not satisfied limit states of load capacity and serviceability so a solution in the form of rehabilitation is proposed. The results of the analysis after the impact of the rehabilitation were shown and a proposal was made to accept it.

Keywords:

Breakwater, rehabilitation, static stability, seismic stability

Sadržaj

1.	Tehnički opis	5
1.1.	Uvod	5
1.2.	Geotehnički istražni radovi	6
1.2.1.	Geotehnički i inženjerskogeološki radovi.....	6
1.2.2.	Inženjerskogeološke značajke lokacije	7
1.2.3.	Podaci o podzemnoj vodi	8
1.2.4.	Seizmičnost lokacije.....	8
1.2.5.	Karakteristike geotehničkim jedinica.....	9
2.	Model tla i geotehnički proračun	10
2.1.	Općenito	10
2.3.	Projektni slučajevi	11
2.4.	Proračun stabilnosti nasipa.....	13
2.5.	Primarni lukobran – Analiza za statičke uvjete.....	14
2.6.	Sekundarni lukobran – trenutno stanje.....	17
2.7.	Sanacija pokosa nasipa.....	20
2.7.2.	Sekunadrni lukobran – sanirana situacija	24
3.	Seizmička projektna situacija	27
3.1.	Općenito	27
3.2.	Proračun za seizmičku situaciju	28
3.3.	Primarni lukobran – seizmičko opterećenje.....	29
3.4.	Sekundarni lukobran – seizmičko opterećenje	31
3.5.	Analiza horizontalnih pomaka vrha nasipa u računalnom programu Slammer.....	38
4.	Literatura	40
5.	Prilozi	41

1. Tehnički opis

1.1. Uvod

Na lokaciji lučice u Krilu Jesenice u sadašnjem stanju nalaze se primarni i sekundarni lukobran. Za potrebe rekonstrukcije istih izvršena je analiza njihove stabilnosti u sadašnjem stanju. Na temelju dobijenih rezultata zaključak je da uvjeti stabilnosti nisu zadovoljeni te se predlaže poboljšanje nasipa koje bi rezultiralo zadovoljenjem uvjeta staticke stabilnosti.

Naselje se nalazi u sklopu općine Dugi Rat u Splitsko-dalmatinskoj županiji. Na predmetnoj lokaciji se nalazi postojeća luka, izgrađena u prirodnoj uvali na obali Jadranskog mora. Postojeća Luka Krilo se sastoji od starog lukobrana koji formira lučicu, izvedenog u nekoliko faza te od gata koji se nalazi istočno od lukobrana.

Prethodnim ispitivanjima i istražnim bušenjem ustaljeno je da se na predmetnoj lokaciji teren generalno sastoji od 5 različitih slojeva.

Gornji dio nasipa koji se sastoji od potporne konstrukcije i kamenog materijala je za potrebe geotehničkog proračuna stabilnosti nasipa aproksimiran kao jedinstvano stalno opterećenje na sloj kamenog nabačaja, a samim time i ostatak nižih slojeva tla ispod nasipa.

Sloj kamenog nabačaja u svom sastavu sadrži više različitih granulacija kamenog materijala, ali i otpadnog materijala različitog podrijetla.

U proračunima je korišten proračunski pristup 3 prema Eurocodu 7.

Geotehnički proračun stabilnosti pokosa nasipa je proveden u računalnom programu Slide. Razultati su pokazali da faktor sigurnosti ne zadovoljava minimalne vrijednosti. Predloženo rješenje u ovom radu je da se na pokos postavi sloj kamenog materijala kojim bi se samnjo nagib pokosa i povećala stabilnost. Nakon izrade modela nasipa s tako saniranim pokosom nasipa, razulteti su dokazali da su zadovoljeni minimalni faktori sigurnosti prema PP3.

S obzirom da metodom graničnih stanja u seizmičkoj kombinaciji nije postignut zadovoljavajući faktor sigurnosti, izvršena je provjera graničnog stanja uporabljivosti, odnosno izračun očekivanog horizontalnog pomaka vrha nasipa. Analiza stabilnosti u seizmičkoj kombinaciji je ekstremno opterećenje koje traje samo djelić sekunde (akcelerogram potresa daje ubrzanja niz kosinu pa uz kosinu u djelićima sekunde) te zadovoljavanje tog uvjeta ekstremne sigurnosti.

1.2. Geotehnički istražni radovi

Za potrebe izrade geotehničkog elaborata koji je geotehnička podloga za izradu glavnog projekta provedeni su inženjerskogeološki i geotehnički istraživački radovi koji su se sastojali od;

- Geološke i geotehničke prospekcije šireg područja
- Istraživačkog bušenja
- Ispitivanja standardnim penetracijskim testom (SPT)
- Geofizička ispitivanja
- Inženjerskogeološkog kartiranja terena
- Obrane podataka ranijih istraživanja

Program geotehničkih istražnih radova je prilagođen uvjetima na terenu.

Na osnovu provedenih istraživanja kao i reinterpretacije ranijih istraživanja u širem području izrađen je geotehnički elaborat.

Geotehnički istraživački radovi su izvedeni u skladu s važećim normama i propisima.

Laboratorijska ispitivanja obuhvaćaju geomehanička ispitivanja uzoraka tla i stijene uzetih iz bušačih jezgri.

1.2.1. Geotehnički i inženjerskogeološki radovi

Geotehnički i inženjerskogeološki radovi provedeni su u lipnju 2022. godine, a obuhvatili su geotehničku prospekciju i inženjerskogeološko kartiranje lokacije te izradu geotehničkog presjeka terena i geotehničkih profila bušotina prikazanih u prilozima 3.1.2.-3.1.9.

U sklopu inženjerskogeološkog kartiranja lokacije provedena je i geološka prospekcija šireg predmetnog područja sa osvrtom na morfologiju i aktivne geomorfološke procese.

Provedenim istraživačkim radovima određene su zastupljene inženjerskogeološke jedinice na istraživanoj lokaciji te njihove inženjerskogeološke značajke. Tlo je determinirano i klasificirano prema USCS (Unified Soil Classification System). Za stijenske mase određen je položaj pukotinskih sustava te njihove značajke, na kojima se temelji GSI klasifikacija stijenske mase. Izmjerjen je razmak među pojedinim pukotinama, zapunjenošć diskontinuiteta i stanje diskontinuiteta.

Paralelno s inženjerskogeološkim kartiranjem terena provedena je i geotehnička prospekcija, radi utvrđivanja geotehničkih jedinica istovrsnih fizikalno-mehaničkih karakteristika, a za potrebe utvrđivanja geotehničkog profila istraživane lokacije.

1.2.2. Inženjerskogeološke značajke lokacije

Inženjerskogeološke značajke predmetnog područja su određene na osnovu provedenih istraživačkih radova, inženjerskogeološkog kartiranja terena te korelacijom dobivenih podataka s podacima dosadašnjih istraživanja.

Utvrđeno je da predmetnu lokaciju izgrađuju četiri litostratigrafske jedinice, prikazane u tablici u nastavku:

Geneza / stratigrafski simbol		Inženjerskogeološki tip
	NABAČAJ	AF
POKRIVAĆ	MARINSKI SEDIMENTI	Q_m
	DELUVIJALNE BREĆE	d
PODLOGA	EOCENSKI FLIŠ	$^3E_{2,3}$

Tablica 1. Litostratigrafske jedinice

U nabačaju, osim navedenih komponenti tla, lokalno se nalazi i otpad različitog podrijetla kao npr. čelične šipke i profili, armirano-betonski elementi, komadi salonitnih elemenata, razni plastični i tekstilni elementi itd. Heterogeni sastav ima izrazit utjecaj na globalnu stabilnost lukobrana.

Geotehničkim pregledom lokacije, ustanovljeno je da je geotehnički profil na lokaciji sastavljen od pet (5) geotehničkih jedinica prikazane u tablici u nastavku.

Geotehnička jedinica	Litostratigrafska oznaka	Opis
GJ-1	AF	Nabačaj: naslage slabo graduiranog šljunka (GP), srednje do dobre zbijenosti
GJ-2	Q_m	Marinski sedimenti: naslage dobro graduiranog pjeskovitog šljunka (GW) s glinom i prahom, srednje zbijenosti
GJ-3	d	Deluvijalne breće: dezintegrirana (D) stijenska masa / naslage dobro graduiranog šljunka (GW) s glinom, srednje zbijenosti
GJ-4	$^3E_{2,3}$	Potpuno trošni lapor: dezintegrirana stijenska masa lapor / glina niske plastičnosti, srednje do krute konzistencije
GJ-5	$^3E_{2,3}$	Visoko trošni lapor: blokovito-poremećena (B/D), slaba stijenska masa lapor / naslage glinovitog šljunka (GC), dobre zbijenosti

Tablica 2. Geotehničke jedinice

1.2.3. Podaci o podzemnoj vodi

Hidrogeološke značajke zastupljenih jedinica su prikazane u tablici u nastavku:

Geneza / litostратigrafske jedinice / stratigrafski simbol		USCS / Dearman, 1976		Tip poroznosti	Vodopropusnost
POKRIVAČ	NABAČAJ	AF	GW, GP, GC	PRIMARNA (međuzrnska)	PROSUPNO - ($k=10^{-3}-10^{-7} \text{ m/s}$)
	MARINSKI SEDIMENTI	Q _m	GW, CL		POLUPROSUPNO - NEPROSUPNO
	DELUVIJALNE BREČE	d	GC / WH	PRIMARNA/ SEKUNDARNA (međuzrnska/pukotinska)	($k=10^{-5}-10^{-7} \text{ m/s}$)
PODLOGA	EOCENSKI FLIŠ	3E _{2,3}	WC/CL, WH,WM	PRIMARNA/ SEKUNDARNA (međuzrnska/pukotinska)	NEPROSUPNO ($k<10^{-9} \text{ m/s}$)

Tablica 3. Poroznost i vodopropusnost zastupljenih litoloških jedinica

Podzemna voda predmetne lokacije ovisi o moru te morskim mijenama. Za potrebe izrade elaborata usvojena je razina mora na 0,00 m n.m.

1.2.4. Seizmičnost lokacije

Utjecaj vrste temeljnog tla na vrijednosti seizmičkog opterećenja u HRN EN 1998-1 se uzima u obzir preko razreda tla. Tlo na predmetnoj lokaciji spada u tlo razreda E- Profil tla koji se sastoji od površinskog aluvijalnog sloja s vrijednostima vs za tipove C ili D i debljinom između 5 i 20 m ispod kojeg je krući materijal $v_s > 800 \text{ m/s}$.

Usvaja se vrijednost poredbenog maksimalnog ubrzanja u tlu razreda A za TDLR = 95 god od $a_{g_R} = 0,113g$ i TNCR = 475 god od $a_{g_R} = 0,219g$.

U HRN EN 1998-1 elastični spektar odziva Se(T) definiran je za horizontalnu komponentu potresnog djelovanja. Vrijednosti perioda TB, TC, TD i faktora tla S koje opisuju oblik elastičnog spektra odziva ovise o tipu temeljnog tla.

Usvajaju se sljedeće vrijednosti parametara koje opisuju preporučeni spektar odziva tipa 1 za tlo razreda E:

- Donja granica perioda s granom konstantnog spektralnog ubrzanja: TB = 0,15 s
- Gornja granica perioda s granom konstantnog spektralnog ubrzanja: TC = 0,50 s
- Vrijednost koja definira početak konstantnog raspona odziva u spektru pomaka: TD = 2,00 s
- Faktor tla: S = 1,40

1.2.5. Karakteristike geotehničkim jedinica

Usvajaju se sljedeće vrijednosti parametara geotehničke jedinice 1 – Nabačaj:

- Kut unutarnjeg trenja $\phi = 35,0-37,5^\circ$
- Kohezija $c = 0,0 \text{ kN/m}^2$
- Zapreminska težina $\gamma = 18,0-19,5 \text{ kN/m}^3$
- Uronjena zapreminska težina $\gamma' = 10,5-12,0 \text{ kN/m}^3$
- Modul elastičnosti $E = 15,0 - 25,0 \text{ MPa}$

Usvajaju se sljedeće vrijednosti parametara geotehničke jedinice 2 - Marinski sedimenti:

- Kut unutarnjeg trenja $\phi = 32,5-55,0^\circ$
- Kohezija $c = 2,0-5,0 \text{ kN/m}^2$
- Zapreminska težina $\gamma = 16,0-17,0 \text{ kN/m}^3$
- Uronjena zapreminska težina $\gamma' = 8,5-9,5 \text{ kN/m}^3$
- Modul elastičnosti $E = 5,0 - 7,0 \text{ MPa}$

Usvajaju se sljedeće vrijednosti parametara geotehničke jedinice 3 – Deluvijalne breče:

- Kut unutarnjeg trenja $\phi = 35,0-37,5^\circ$
- Kohezija $c = 2,0-5,0 \text{ kN/m}^2$
- Zapreminska težina $\gamma = 17,5-18,5 \text{ kN/m}^3$
- Uronjena zapreminska težina $\gamma' = 10,0-11,0 \text{ kN/m}^3$
- Modul elastičnosti $E = 10,0 - 15,0 \text{ MPa}$

Usvajaju se sljedeće vrijednosti parametara geotehničke jedinice 4 – Potpuno trošni lapori:

- Kut unutarnjeg trenja $\phi = 25,0-30,0^\circ$
- Kohezija $c = 5,0-10,0 \text{ kN/m}^2$
- Zapreminska težina $\gamma = 20,0-21,0 \text{ kN/m}^3$
- Uronjena zapreminska težina $\gamma' = 10,0-11,0 \text{ kN/m}^3$
- Modul elastičnosti $E = 10,0 - 15,0 \text{ MPa}$

Usvajaju se sljedeće vrijednosti parametara geotehničke jedinice 5 – Visoko trošni lapori:

- Kut unutarnjeg trenja $\phi = 35,0-37,5^\circ$
- Kohezija $c = 2,0-5,0 \text{ kN/m}^2$
- Zapreminska težina $\gamma = 17,5-18,5 \text{ kN/m}^3$
- Uronjena zapreminska težina $\gamma' = 10,0-11,0 \text{ kN/m}^3$
- Modul elastičnosti $E = 20,0 - 25,0 \text{ MPa}$

2. Model tla i geotehnički proračun

U proračunu su analizirani karakteristični poprečni presjeci lukobrana koji se nalaze na mjestima najvećih dubina u odnosu na ostale presjeke.

Presjek 11-11 na primarnom lukobranu i presjek 14-14 na sekundarnom lukobranu.

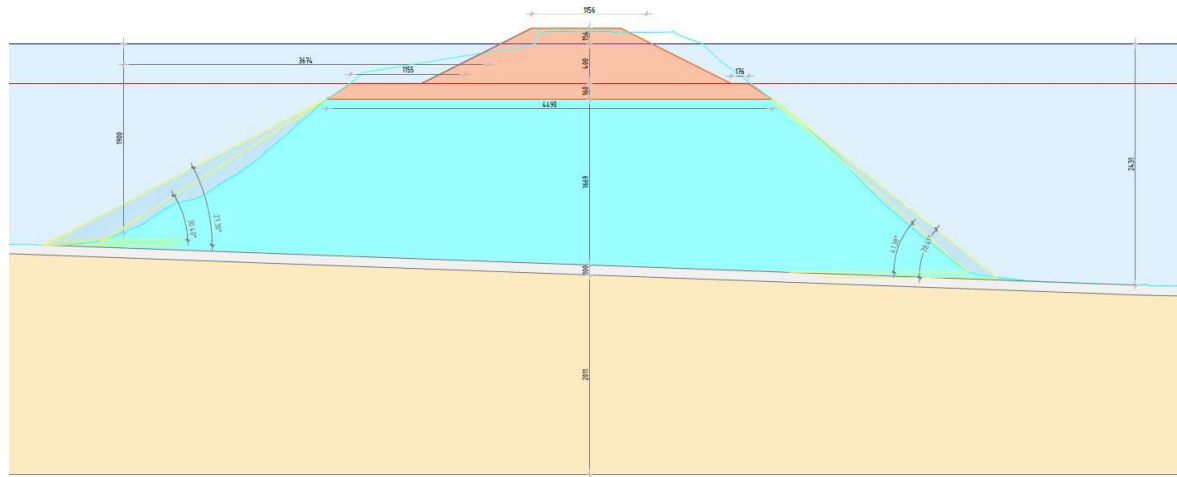
Opterećenje uslijed djelovanja konstrukcije koja je planirana na nasipu je u postupku analiza provedenih i prikazanih u ovom radu je aproksimirano kao jedinstveno opterećenje.

2.1. Općenito

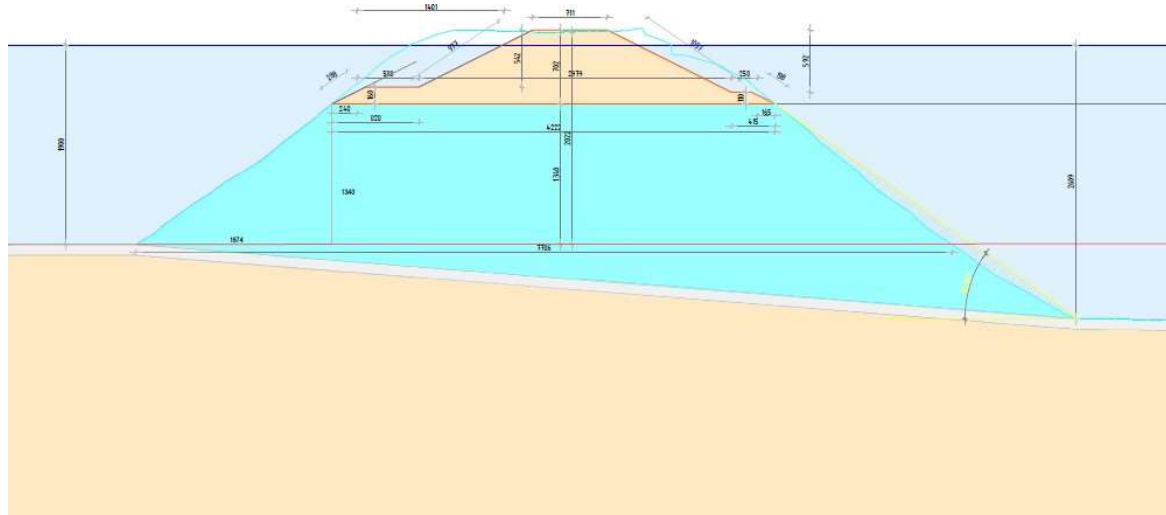
Proračuni stabilnosti kosina pokosa izvršeni su na osnovu raspoloživih podataka o geometriji planirane građevine, planiranih iskopa i geološkoj građi terena. Proračuni su izvršeni prema EN 1997-1:2010.

Prema EN 1997-1 sve navedene geotehničke konstrukcije pripadaju Geotehnička kategoriji građevine: GC3.

2.2. Geometrija nasipa



Slika 1. Prikaz geometrije primarnog nasipa



Slika 2. Prikaz geometrije sekundarnog nasipa

Zbog heterogenog sastava nasipa, dolazi do pojava lokalnih obrušavanja. Zbog toga je izrađena prikazana aproksimacija za kutovima koji osiguravaju stabilost nasipa i sprječavaju spomenuta obrušavanja.

2.3. Projektni slučajevi

Proračun se vrši prema **HRN EN 1997-1:2012**

Granično stanje nosivosti GEO/STR, projektni pristup 3: $(A_1^d \text{ ili } A_2^e) + M_2 + R_3$

Parametar tla	Oznaka	Vrijednost
Kut unutarnjeg trenja	$\gamma_{tg\varphi}$	1,25
Efektivna kohezija	γ_c	1,25
Nederenirana posmična čvrstoća	γ_{cu}	1,40
Otpornost tlačnih pilota	$\gamma_{s,1}$	1,40
Otpornost sidara	γ_a	1,40

Tablica 4. Parcijalni faktori po PP3

HRN EN 1997-1:2012

Za proračun stabilnosti na klizanje i nosivost tla koristimo granično stanje nosivosti: GEO

- Za proračunski pristup 3: $(A1^d \text{ ili } A2^e) + M2 + R3$
- d - za sile od konstrukcije
- e - za geotehničke sile

Parcijalni faktori za granična stanja STR i GEO:

- (1) Parcijalni faktori djelovanja (γ_F) i
učinka djelovanja (γ_E) Djelovanja
simbol A1 A2

trajna nepovoljna	$\gamma_{G,\text{det}}$	1,35	1,0
povoljna	$\gamma_{G,\text{ub}}$	1,0	1,0
promjenjiva nepovoljna	$\gamma_{Q,\text{det}}$	1,5	1,3
povoljna	$\gamma_{Q,\text{ub}}$	0	0

- (2) Parcijalni faktori svojstva materijala
(tlo, stijena) (γ_M) Svojstvo simbol
M1 M2

tangens efektivnog kuta trenja	γ_ϕ	1,0	1,25
efektivna kohezija	γ_c	1,0	1,25
težinska gustoća	γ_T	1,0	1,0

- (3) Parcijalni faktori otpora (γ_R):

Otpornost	simbol	R1	R2	R3	R4
Potporne konstrukcije nosivost	$\gamma_{R,v}$	1,0	1,4	1,0	-
klizanje	$\gamma_{R,h}$	1,0	1,1	1,0	-
otpor tla	$\gamma_{R,e}$	1,0	1,4	1,0	-
prevrtanje	γ_R	1,0	1,0	1,0	-

Tablica 4. Prikaz parcijalnih faktora za proračunski princip 3

2.4. Proračun stabilnosti nasipa

Rekonstrukcija lukobrana je planirana na nabačaju koji se već nalazi na predmetnoj lokaciji. Provedena su ispitivanja te analize samog sloja nabačaja.

Naslage nabačaja su u sklopu predmetne lokacije zastupljene kontinuirano, u sklopu nasutih rubnih obalnih dijelova predmetne lokacije te gatova.

Prema podacima provedenih istraživačkih radova, nabačaj je predstavljen heterogenom mješavinom vapnenačkih blokova i blokova betona sa šljunkom, pijeskom, i sitnozrnatim česticama.

U geomehaničkom smislu, naslage nabačaja kao cjelina predstavljaju naslage slabo graduiranog šljunka (GP) s karbonatnim blokovima veličine do cca 30 cm i odlomcima opeke, srednje do dobre zbijenosti, koja je prema tim parametrima podijeljena u dvije geotehničke jedinice. Debljina nabačaja utvrđena istraživačkim radovima iznosi od 7,0 m, do 26,00 m. Veličina karbonatnih blokova u sklopu nabačaja kreće se do cca 30 cm.

Proračun je izvršen sa programom Slide. Analiza je izvršena metodom graničnih stanja sa kružnim kliznim plohama i automatskim traženjem kritične klizne plohe.

Korištene metode su Bishop, Spencer i Janbu.

Proračunske (projektne vrijednosti) za analize graničnog stanja nosivosti izvode se iz karakterističnih vrijednosti uz primjenu parcijalnih koeficijenata.

$$c_d = \frac{c_k}{1,25}$$

$$\tan_{\varphi_d} = \frac{\tan \varphi_k}{1,25}$$

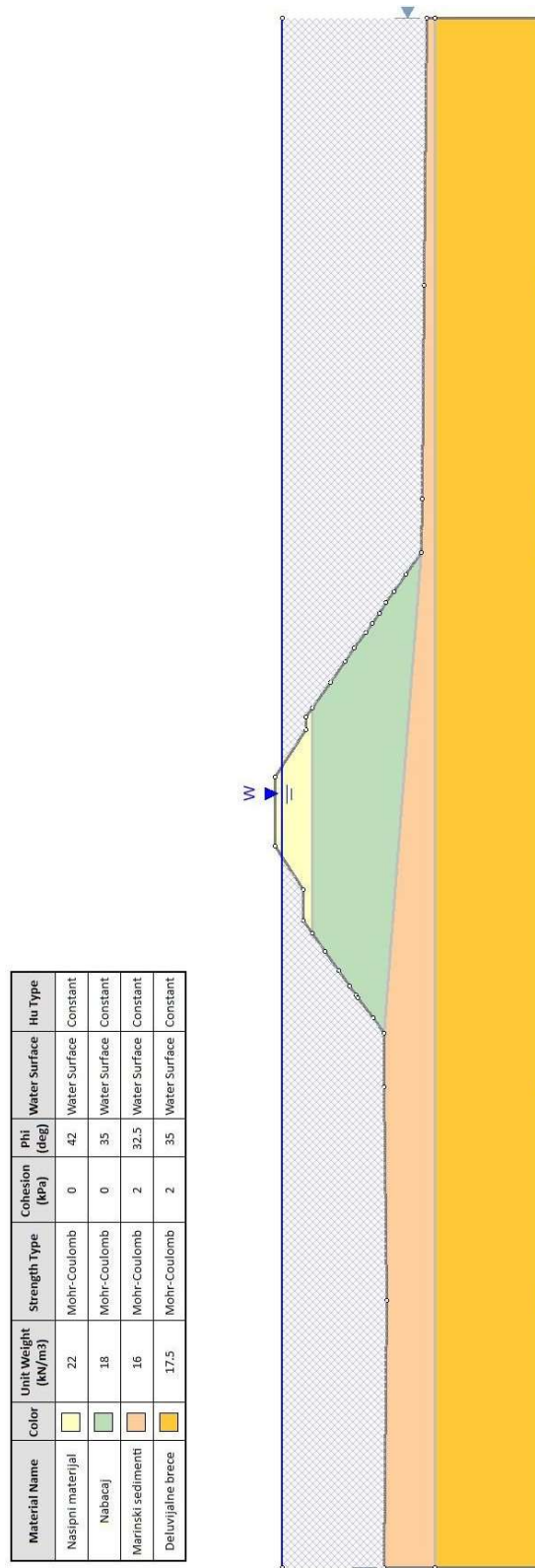
Analiza za statičku kombinaciju opterećenja provedena je uzimajući u obzir geometriju nasipa, debljinu i karakteristike slojeva nasipa te opterećenje uslijed konstrukcija koje su planirane na sloju nabačaja. Korišten je proračunski pristup 3 te pripadajući parcijalni faktori.

Naime, u slučaju da karakteristične vrijednosti parametara geotehničkih jedinica nisu korigirane parcijalnim faktorima PP3, faktor sigurnosti bi zadovoljavao minimalnu vrijednost (cca. 1,00).

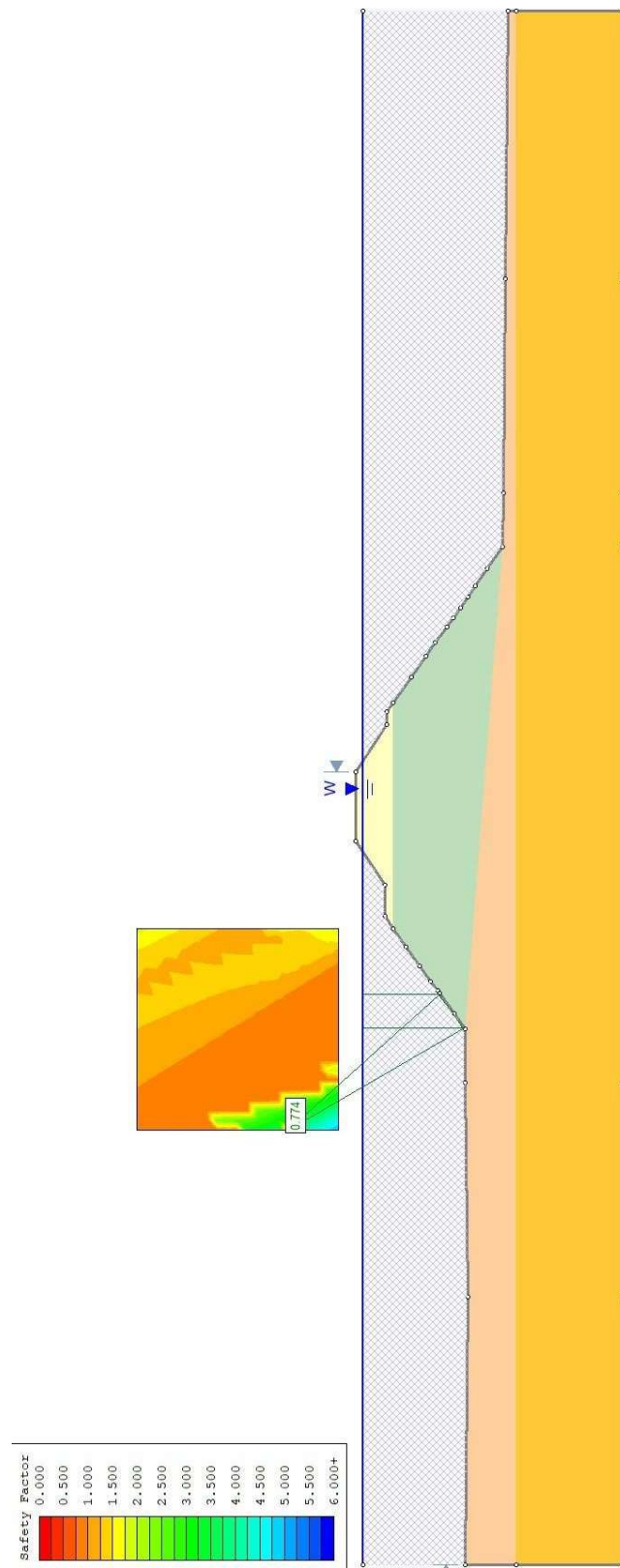
Međutim, proračun je proveden prema PP3 te su u obzir uzeti pripadajući parcijalni faktori, a karakteristične vrijednosti parametara tla korigirane njima. Samim time, faktor sigurnosti je manji od minimalne vrijednosti te na lukobranu nije postignuta razina sigurnosti.

Rezultati tako provedenog proračuna su prikazani u nastavku.

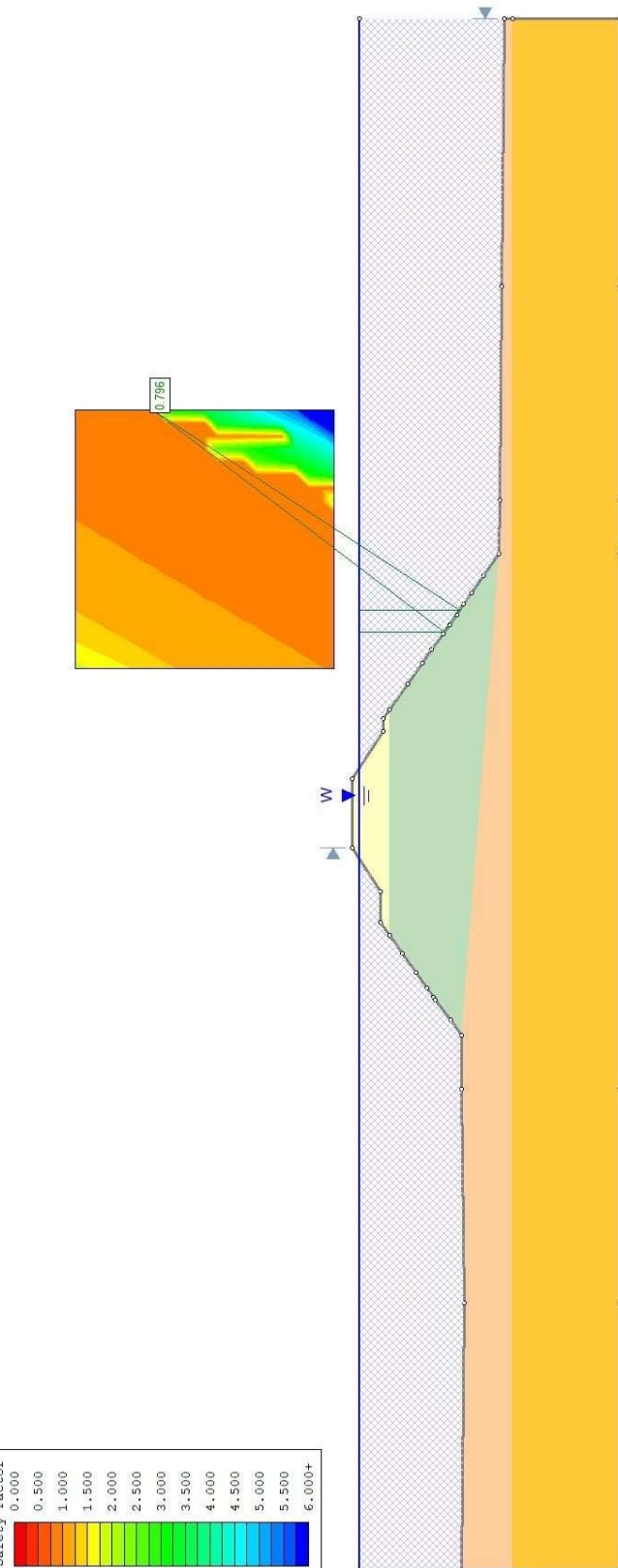
2.5. Primarni lukobran – Analiza za statičke uvjete



Slika 1. Model presjeka primarnog lukobrana

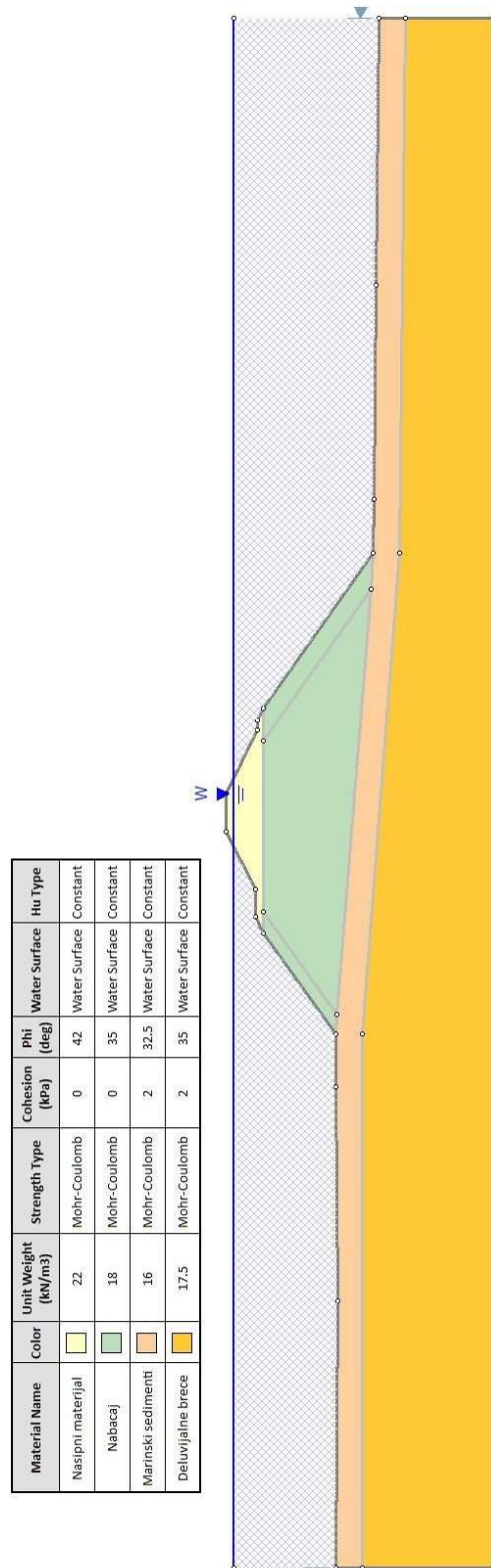


Slika 2. Rezultati analize stabilnosti za lijevu stranu primarnog lukobrana
Kritična klizna ploha za lijevu stranu primarnog lukobrana čiji je koeficijent sigurnosti $F_s = 0,774$.

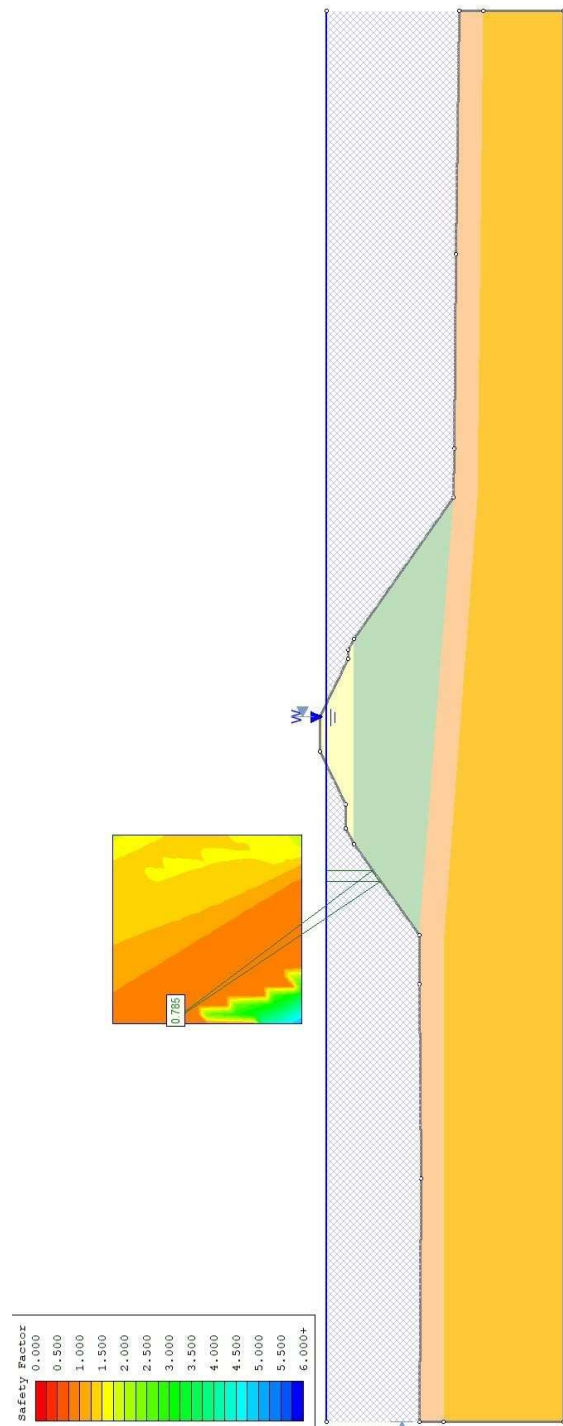


Slika 3. Rezultati analize stabilnosti za desnu stranu primarnog lukobrana
Kritična klizna ploha za desnu stranu primarnog lukobrana čiji je koeficijent sigurnosti
 $F_s = 0,796$.

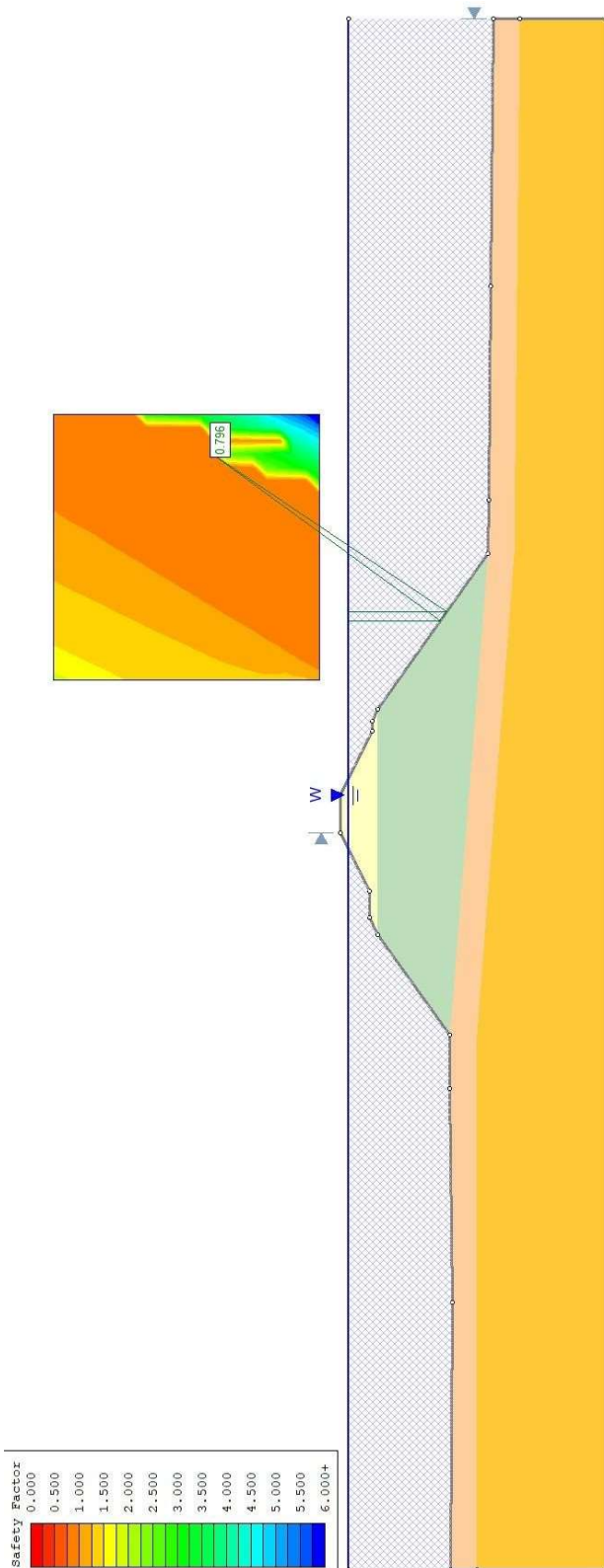
2.6. Sekundarni lukobran – trenutno stanje



Slika 4. Model presjeka sekundarnog lukobrana



Slika 5. Rezultati analize stabilnosti za lijevu stranu sekundarnog lukobrana
Kritična klizna ploha za lijevu stranu sekundarnog lukobrana čiji je koeficijent sigurnosti $F_s = 0,785$.



Slika 6. Rezultati analize stabilnosti za desnu stranu sekundarnog lukobrana

Kritična klizna ploha za desnu stranu sekundarnog lukobrana čiji je koeficijent sigurnosti $F_s = 0,796$.

2.7. Sanacija pokosa nasipa

Iz rezultata dobijenih pomoću programa Slide, vidljivo je da koeficijenti sigurnosti ne zadovoljavaju po PP3. Zbog toga se predlaže sanacija nasipa.

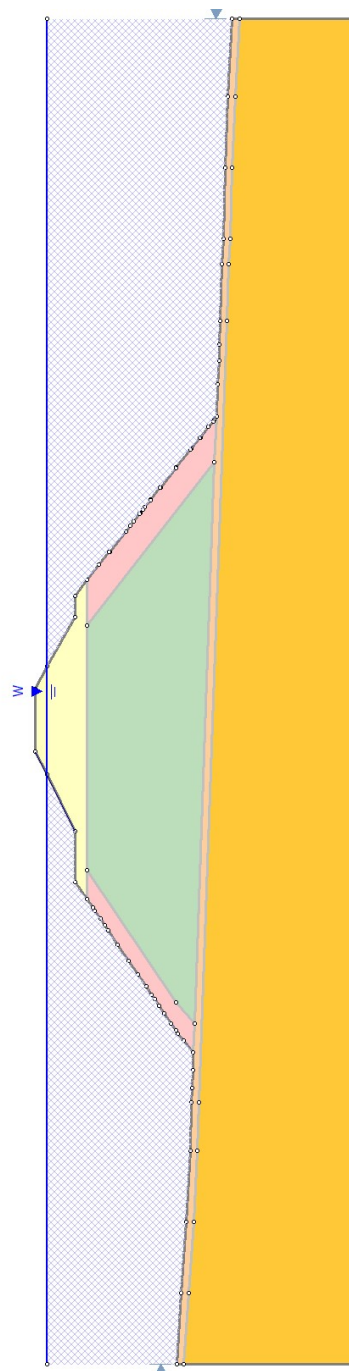
Sanacija se izvodi na način da se prvo pristupa uklanjanju površinskog dijela nasipa i vrši se zamjena kvalitetnim kamenim nabačajem sa svojstvima koja osiguravaju zadovoljavajući kut trenja. Naime kut trenja će se povećati što će utjecati na rezultate stabilnosti samog nasipa.

Nakon što se ukloni površinski sloj sa nasipa, postavlja se sloj geomreže prije nasipavanja kamenog materijala.

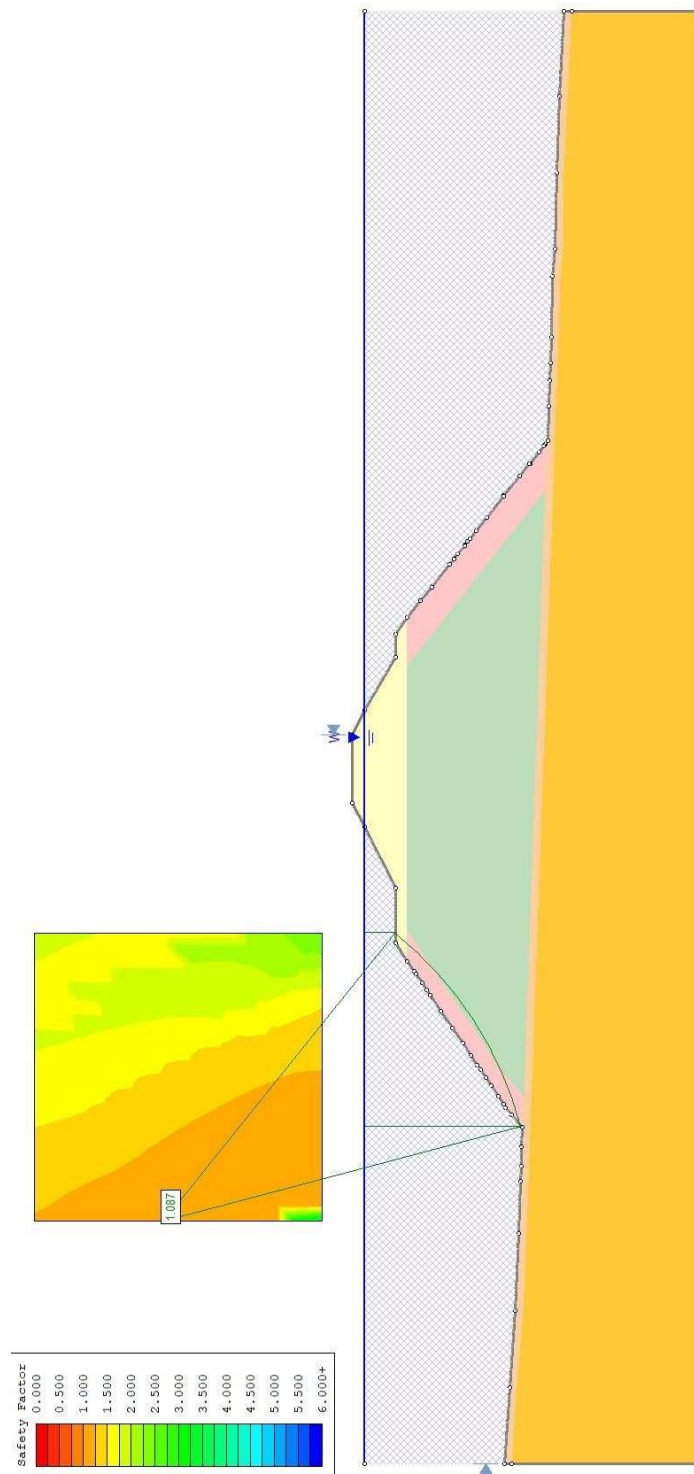
Prikaz geometrije saniranog nasipa i rezultati stabilnosti statičke analize su prikazani u nastavku rada.

2.7.1. Primarni lukobran – Analiza za statičke uvjete

Material Name	Color	Unit Weight (kN/m^3)	Strength Type (deg)	Cohesion (kPa)	Phi (deg)	Water Surface	Hu Type
Nasipni materijal	Yellow	22	Mohr-Coulomb	0	45	Water Surface	Constant
Nabataj	Green	18	Mohr-Coulomb	0	38	Water Surface	Constant
Marinski sedimenti	Orange	16	Mohr-Coulomb	2	32.5	Water Surface	Constant
Ercenski lis	Yellow	20	Mohr-Coulomb	5	25	Water Surface	Constant
Kameni materijal	Pink	22	Mohr-Coulomb	0	45	Water Surface	Constant

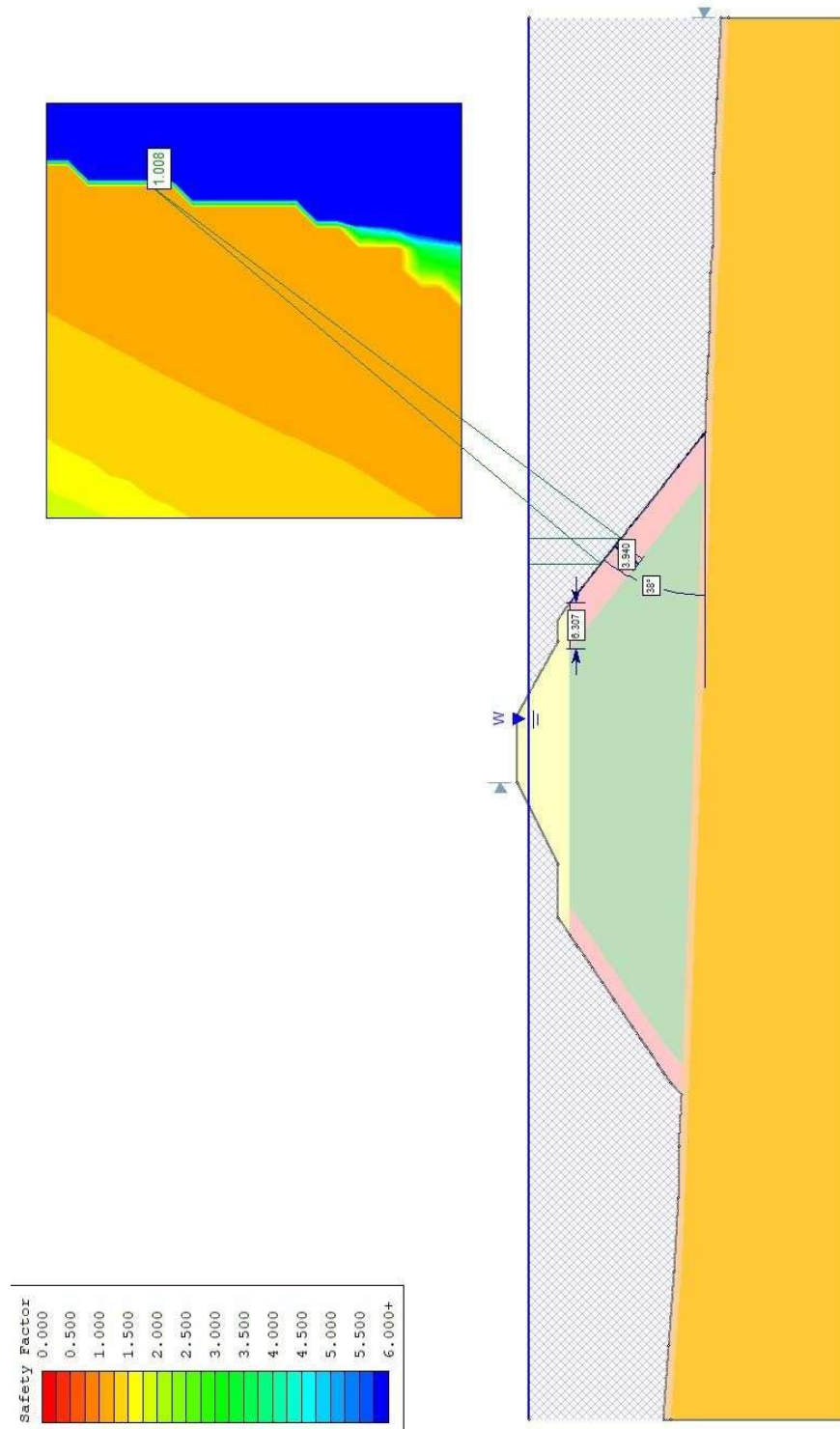


Slika 7. Model primarnog lukobrana sa saniranim pokosom nasipa



Slika 8. Rezultati analize stabilnosti lijeve strane primarnog nosača sa saniranim pokosom nasipa

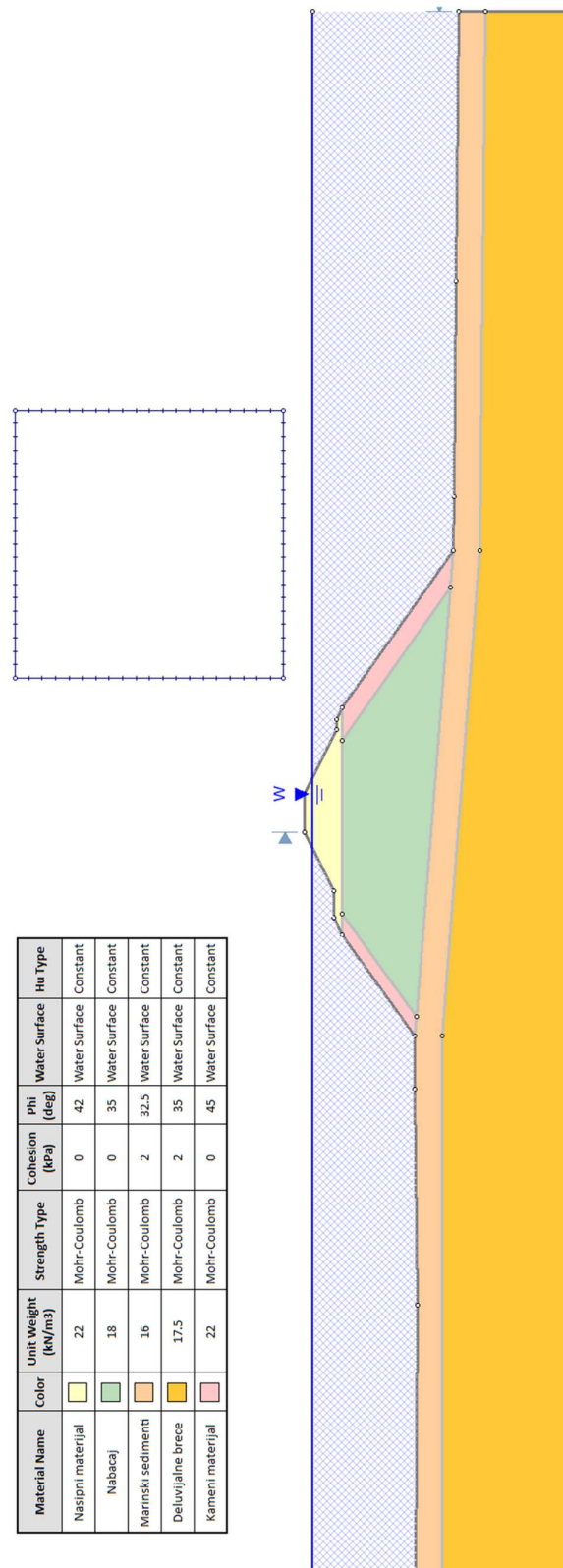
Kritična klizna ploha za lijevu stranu primarnog lukobrana čiji je koeficijent sigurnosti $F_s = 1,087$.



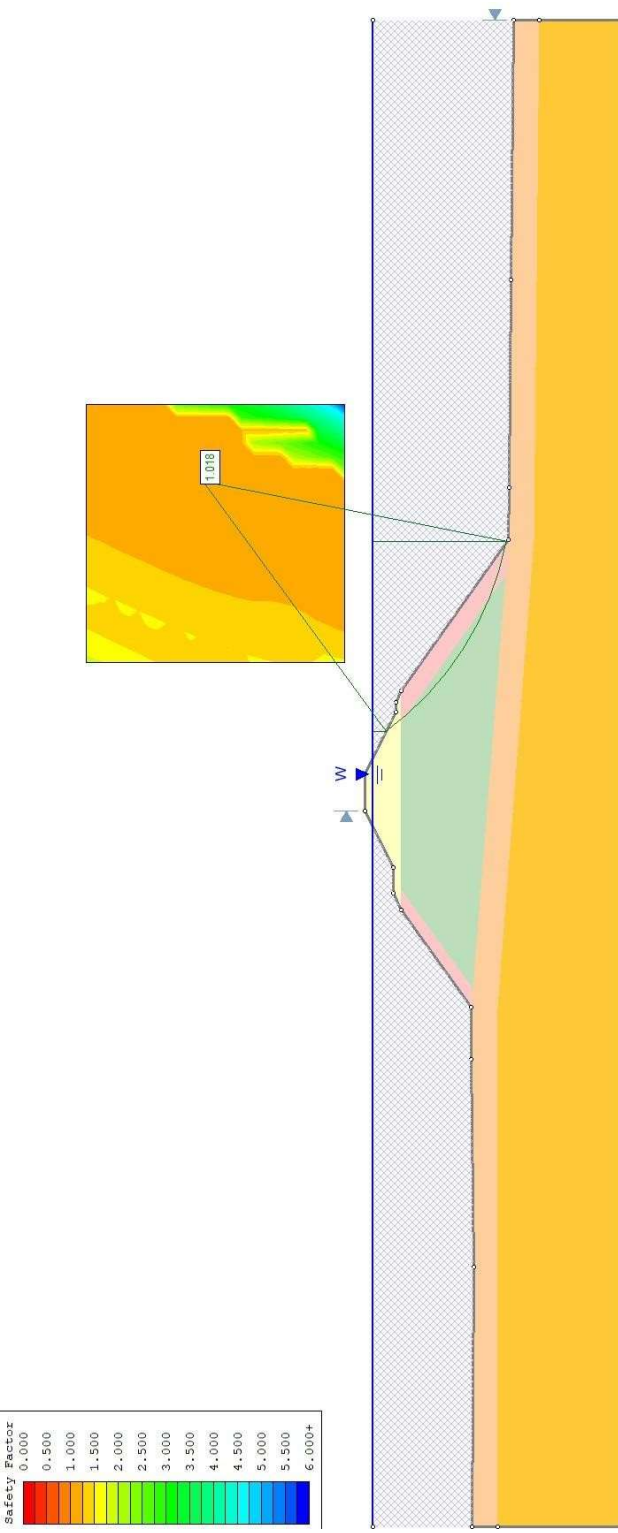
Slika 9. Rezultati analize stabilnosti desne strane primarnog nosača sa saniranim pokosom nasipa

Kritična klizna ploha desne strane primarnog lukobrana čiji je koeficijent sigurnosti $F_s = 1,008$.

2.7.2. Sekunadrni lukobran – sanirana situacija

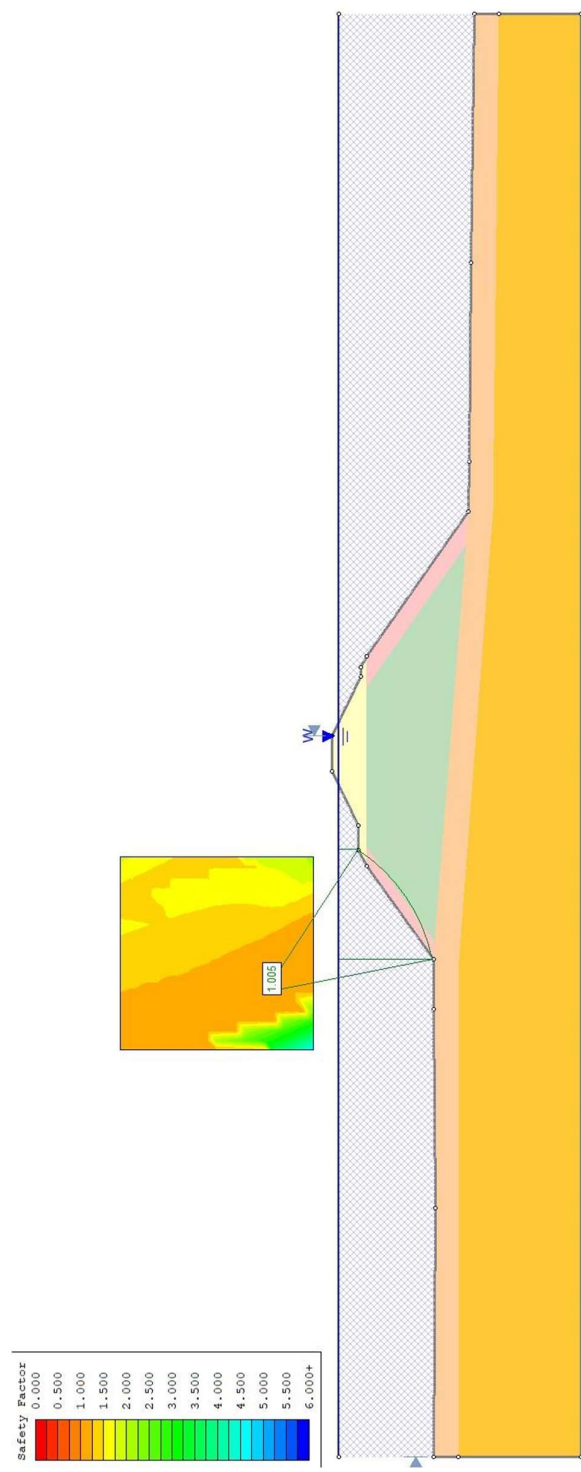


Slika 10. Model sekundarnog lukobrana sa saniranim pokosom nasipa



Slika 11. Rezultati analize stabilnosti desne strane sekundarnog lukobrana sa saniranim pokosom

Kritična klizna ploha desne strane sekundarnog lukobrana čiji je koeficijent sigurnosti $F_s = 1,018$.



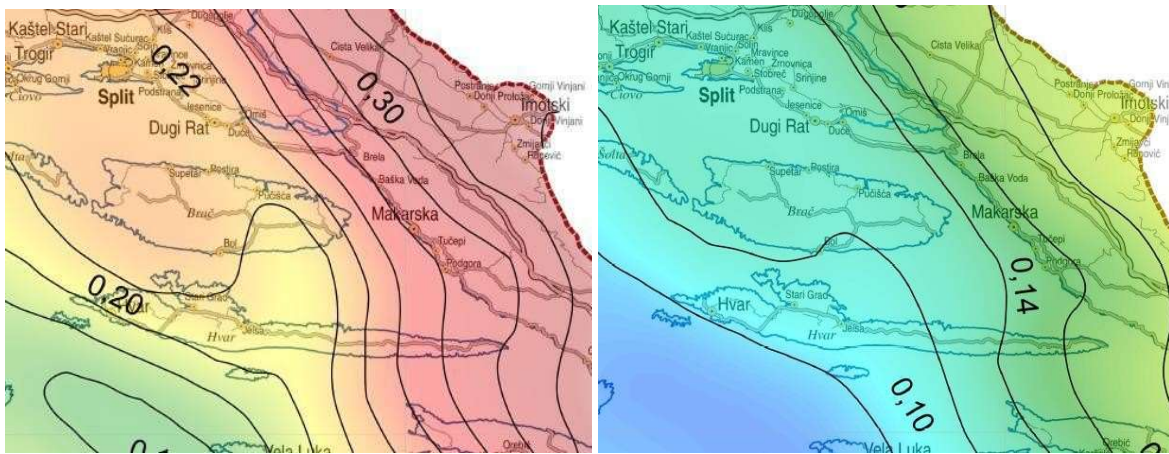
Slika 12. Rezultati analize stabilnosti lijeve strane sekundarnog lukobrana sa saniranim pokosom

Kritična klizna ploha lijeve strane sekundarnog lukobrana čiji je koeficijent sigurnosti $F_s = 1,005$.

3. Seizmička projektna situacija

3.1. Općenito

Predmetna lokacija nalazi se u općini Dugi Rat, u Splitsko-dalmatinskoj županiji. Vrijednost poredbenih vršnih ubrzanja temeljnog tla agR (za temeljno tlo tipa A), s vjerojatnosti prekoračenja 10 % u 50 godina, za poredbeno povratno razdoblje TNCR = 475 godina te poredbenih vršnih ubrzanja temeljnog tla agR (za temeljno tlo tipa A), s vjerojatnosti prekoračenja 10 % u 10 godina, za poredbeno povratno razdoblje TDRL = 95 godina prikazane su na sljedećim slikama.



Karta poredbenih vršnih ubrzanja temeljnog tla agR (temeljno tlo tipa A), s vjerojatnosti prekoračenja 10% u 50 godina, za poredbeno povratno razdoblje TNCR = 475 god. (slika lijevo) te karta poredbenih vršnih ubrzanja temeljnog tla agR (temeljno tlo tipa A), s vjerojatnosti prekoračenja 10 % u 10 godina, za poredbeno povratno razdoblje TNCR = 95 god. (slika desno).

Za potrebe definiranja elastičnih i projektnih spektara pri proračunu konstrukcije na potres, koristi se vrijednost a_g projektnog ubrzanja u tlu razreda A.

3.2. Proračun za seizmičku situaciju

Pri seizmičkom djelovanju seizmički val predaje konstrukciji i tlu iza konstrukcije horizontalno k_h i vertikalno k_v ubrzanje. Ovisno o smjeru nailaska seizmičkog vala, vertikalna komponeneta ubrzanja može djelovati prema gore ili prema dolje.

Horizontalno ubrzanje tla određeno je geotehničkim izvještajem; $a_g = 0,219g$.

Parametar S za tip tla A i horizontalno ubrzanje za povratno razdoblje od 475 godina ; $S = 1,0$.

Horizontalni seizmički koeficijent prema HRN EN 1998-5:

$$k_h = 0,5 \cdot \alpha \cdot S = 0,5 \cdot 0,219 \cdot 1,0 = 0,1095$$

$$\alpha = \frac{a_g}{g} = \frac{0,219g}{g} = 0,219$$

gdje je;

α – omjer proračunskog ubrzanja i ubrzanja sile teže

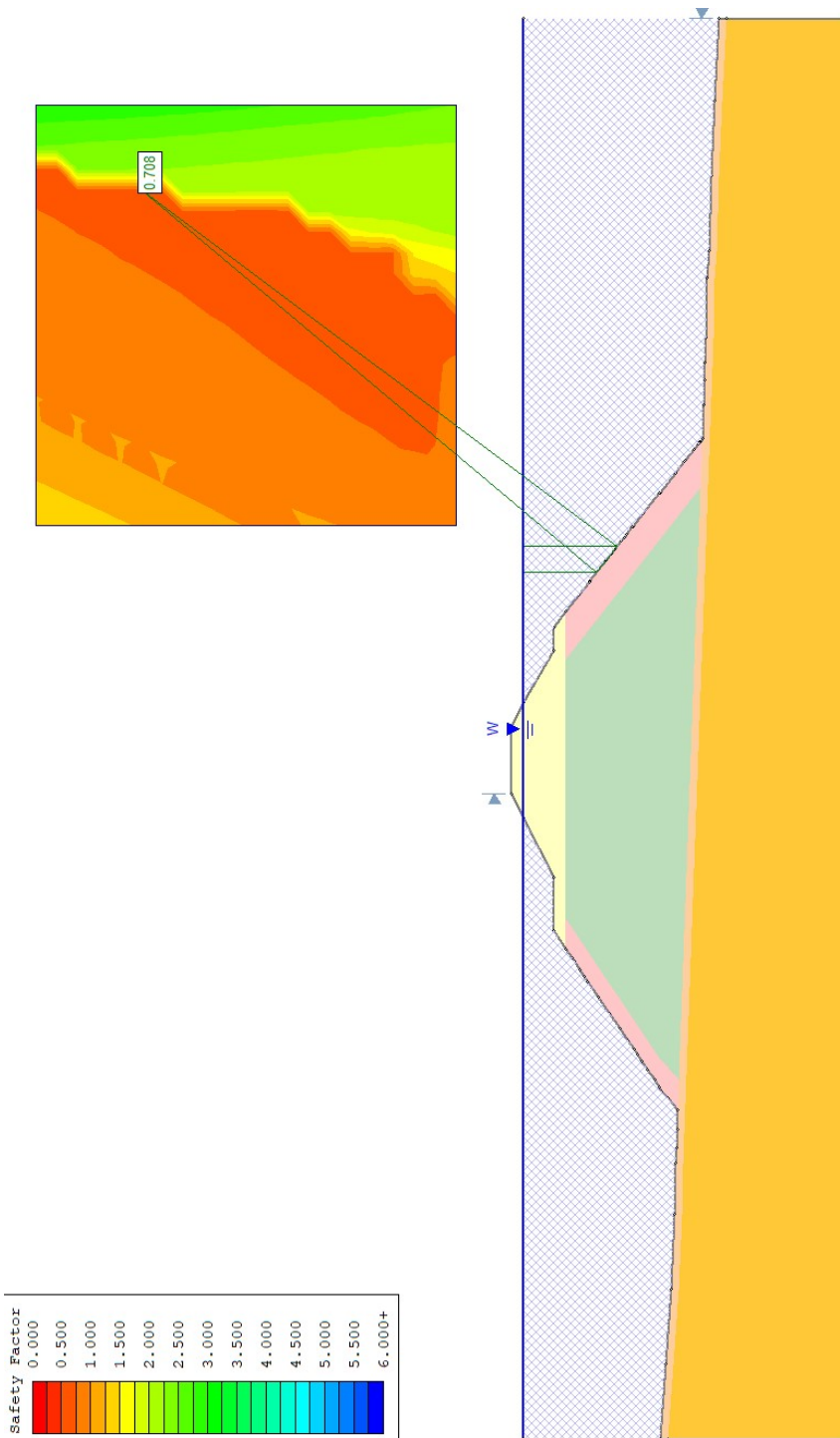
S – faktor tipa tla

W – vlastita težina

Vertikalni seizmički koeficijent;

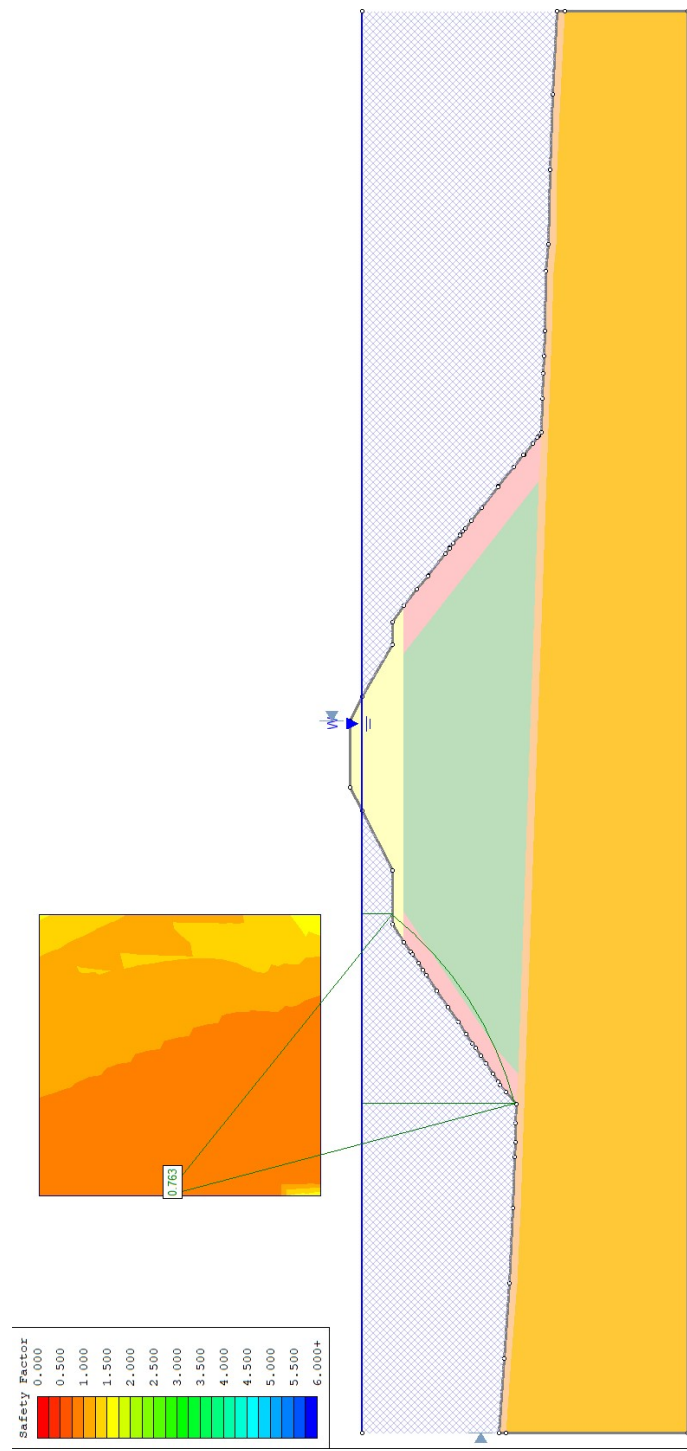
$$k_v = 0,5 \cdot k_h = 0,5 \cdot 0,1095 = 0,05475$$

3.3. Primarni lukobran – seizmičko opterećenje



Slika 13. Rezultati za desnu stranu primarnog lukobrana sa saniranim pokosom uslijed djelovanja seizmičkog opterećenja

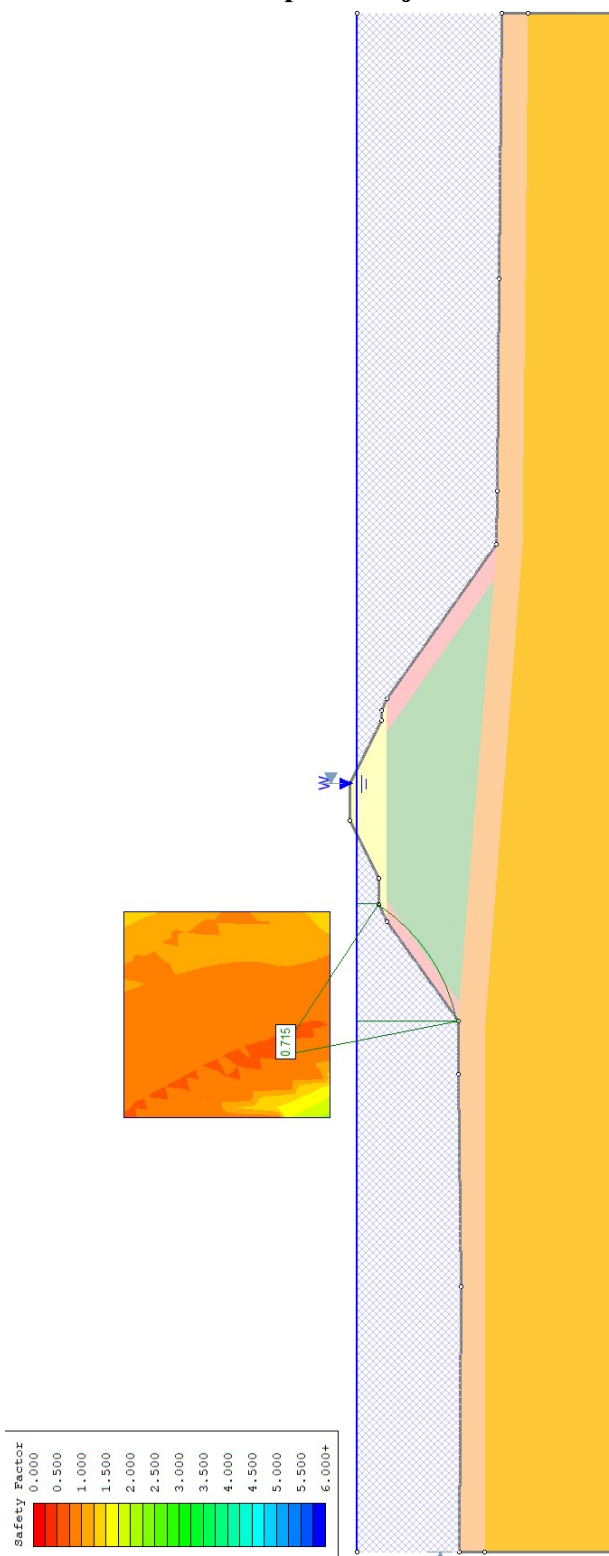
Provedenom analizom dobijen je faktor sigurnosti $F_s = 0,708$ što ne zadovoljava minimalnu vrijednost koja zadovoljava uvjet stabilnosti na seizmičko opterećenje.



Slika 14. Rezultati za lijevu stranu primarnog lukobrana sa saniranim pokosom uslijed djelovanja seizmičkog opterećenja

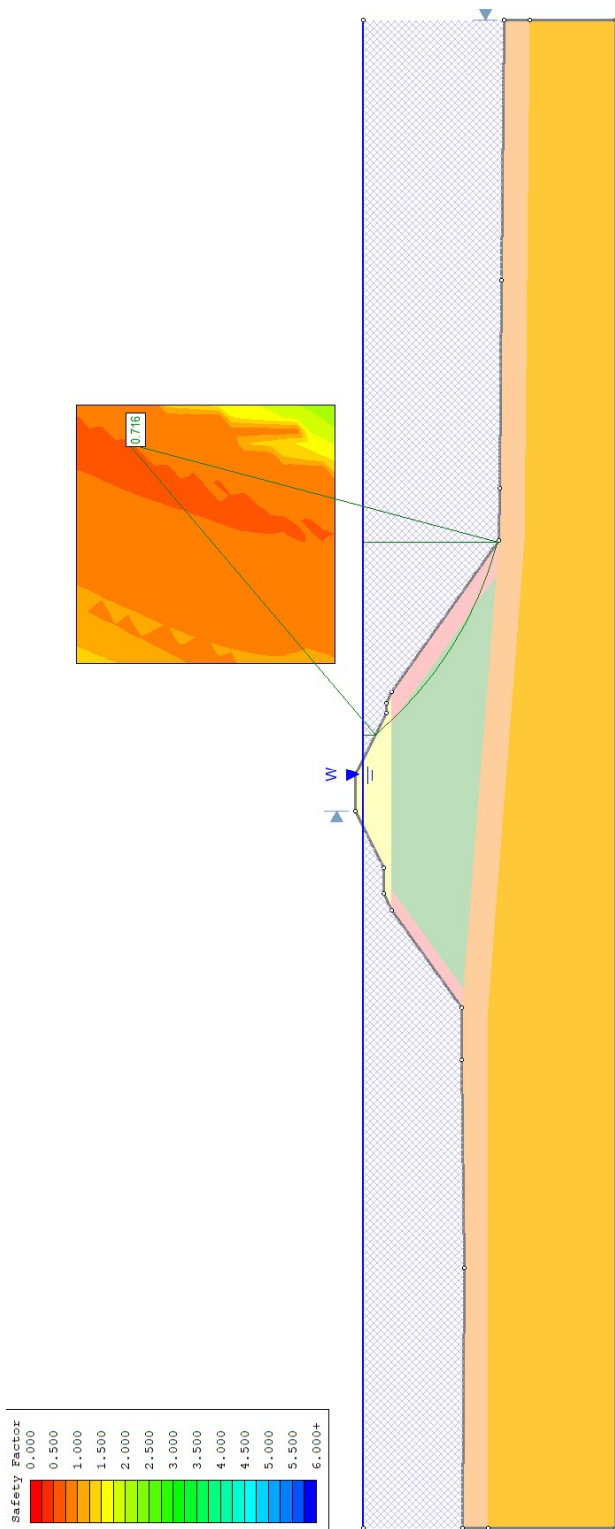
Provedenom analizom dobijen je faktor sigurnosti $F_s = 0,763$ što ne zadovoljava minimalnu vrijednost koja zadovoljava uvjet stabilnosti na seizmičko opterećenje.

3.4. Sekundarni lukobran – seizmičko opterećenje



Slika 15. Rezultati za lijevu stranu sekundarnog lukobrana sa saniranim pokosom uslijed djelovanja seizmičkog opterećenja

Provedenom analizom dobijen je faktor sigurnosti $F_s = 0,715$ što ne zadovoljava minimalnu vrijednost koja zadovoljava uvjet stabilnosti na seizmičko opterećenje.



Slika 16. Rezultati za desnu stranu sekundarnog lukobrana sa saniranim pokosom uslijed djelovanja seizmičkog opterećenja

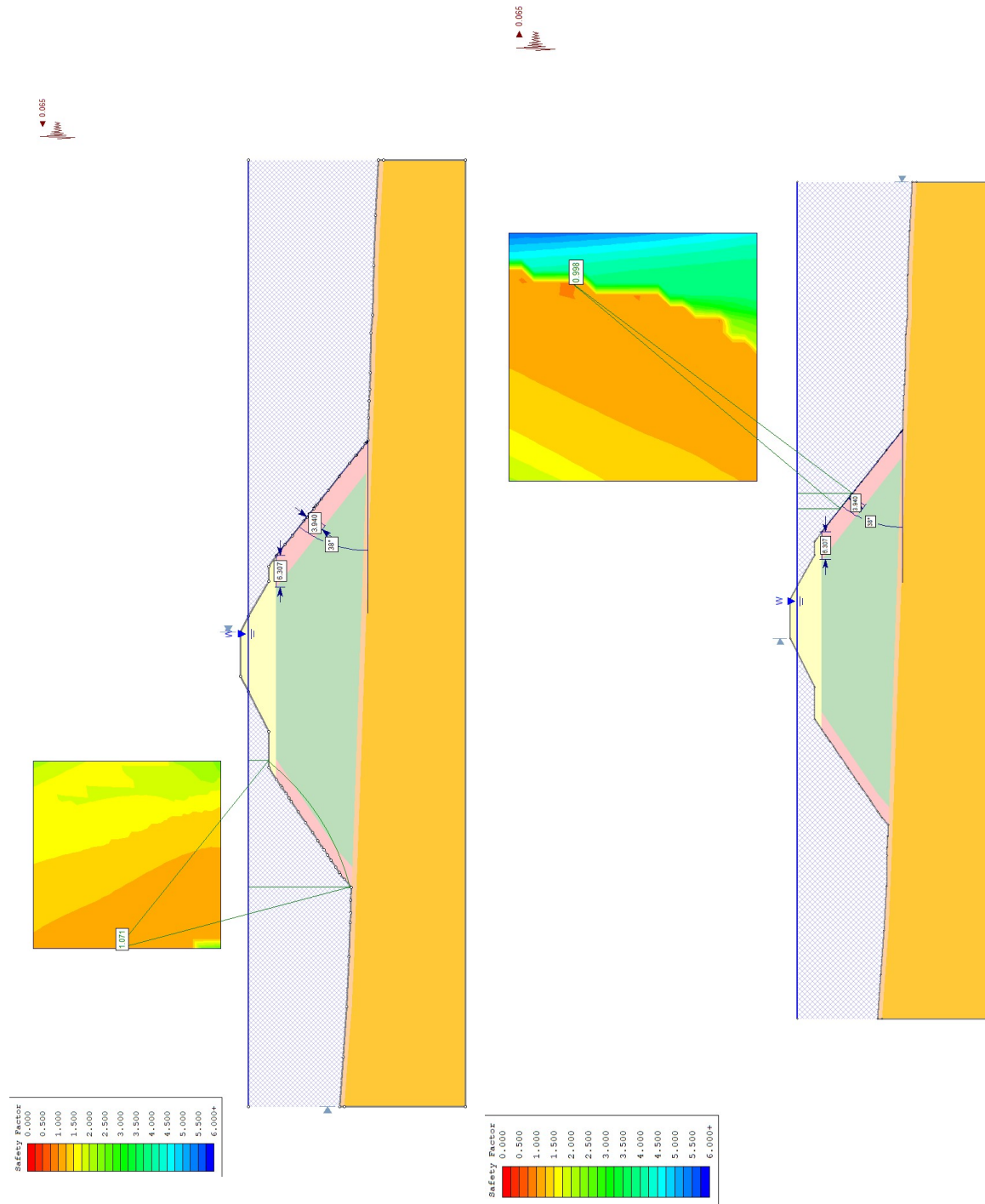
Provedenom analizom dobijen je faktor sigurnosti $F_s = 0,716$ što ne zadovoljava minimalnu vrijednost koja zadovoljava uvjet stabilnosti na seizmičko opterećenje.

Na temelju gore prikazanih rezultata dolazi se do zaključka da nasipi nisu zadovoljili uvjete seizmičke stabilnosti unatoč intervencijama poduzetim na njima. Predložene intervencije su rezultirale zadovoljavanjem minimalnih vrijednosti faktora sigurnosti u analizi statičke sigurnosti ali ipak njihov učinak je nedovoljan kako bi se osigurali i minimalni faktori sigurnosti u analizi seizmičke stabilnosti.

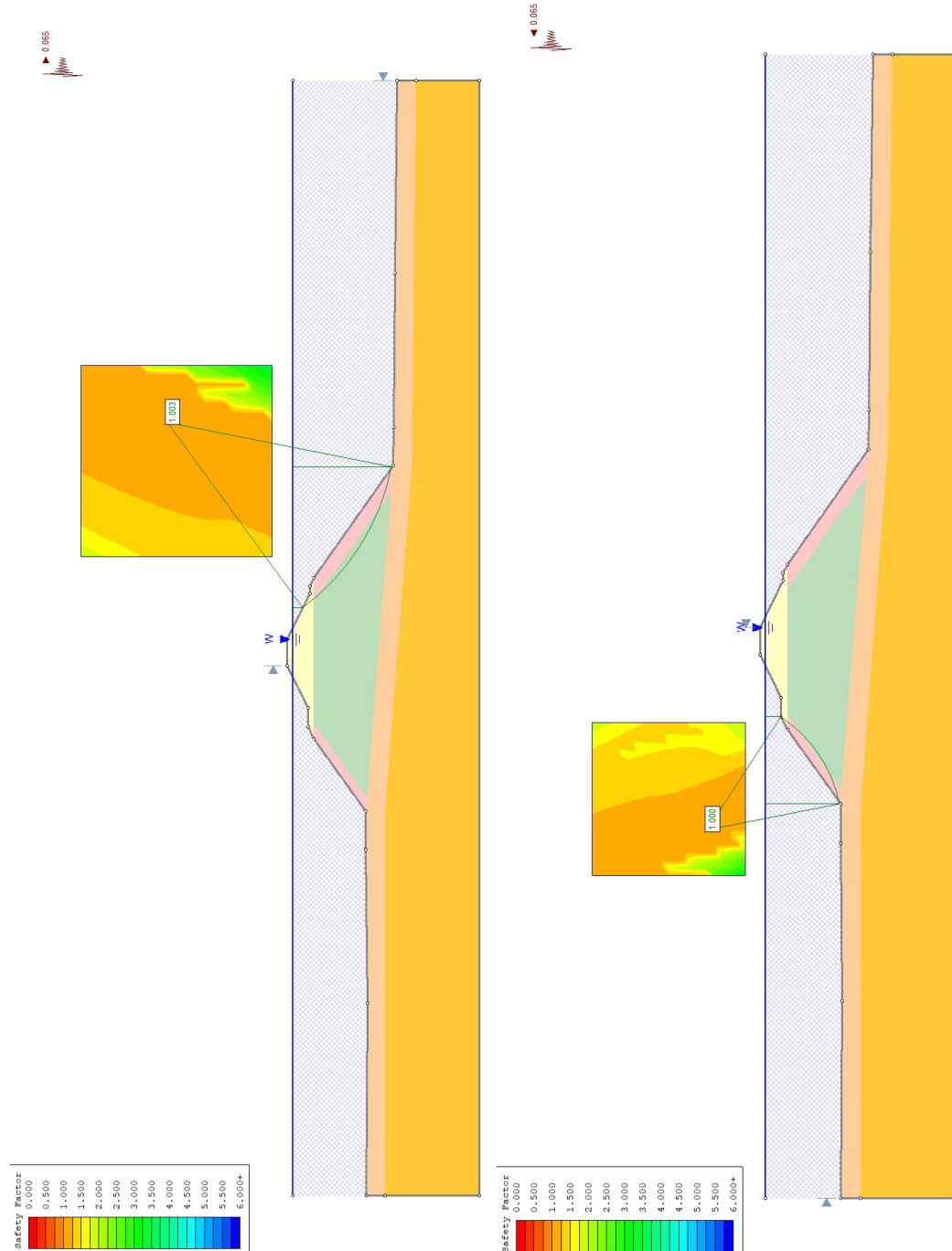
Zbog navedenih razloga, u računalnom programu Slide je određeno kritično horizontalno ubrzanje tla za ove nasipe i ono iznosi $a_g = 0,065g$.

Kritična akceleracija (ubrzanje) je ubrzanje potrebno da izazove pomak bloka, tl.aktivira kliznu plohu (granično stanje stabilnosti). Pomak bloka će nastati kada ubrzanje izazvano potresom, koje djeluje na blok, odgovara inercijalnoj sili izazvanoj potresom koji proizvede kritično ubrzanje.

U nastavku su prikazani rezultati analize seizmičke stabilnosti nasipa pri djelovanju kritične akceleracije.



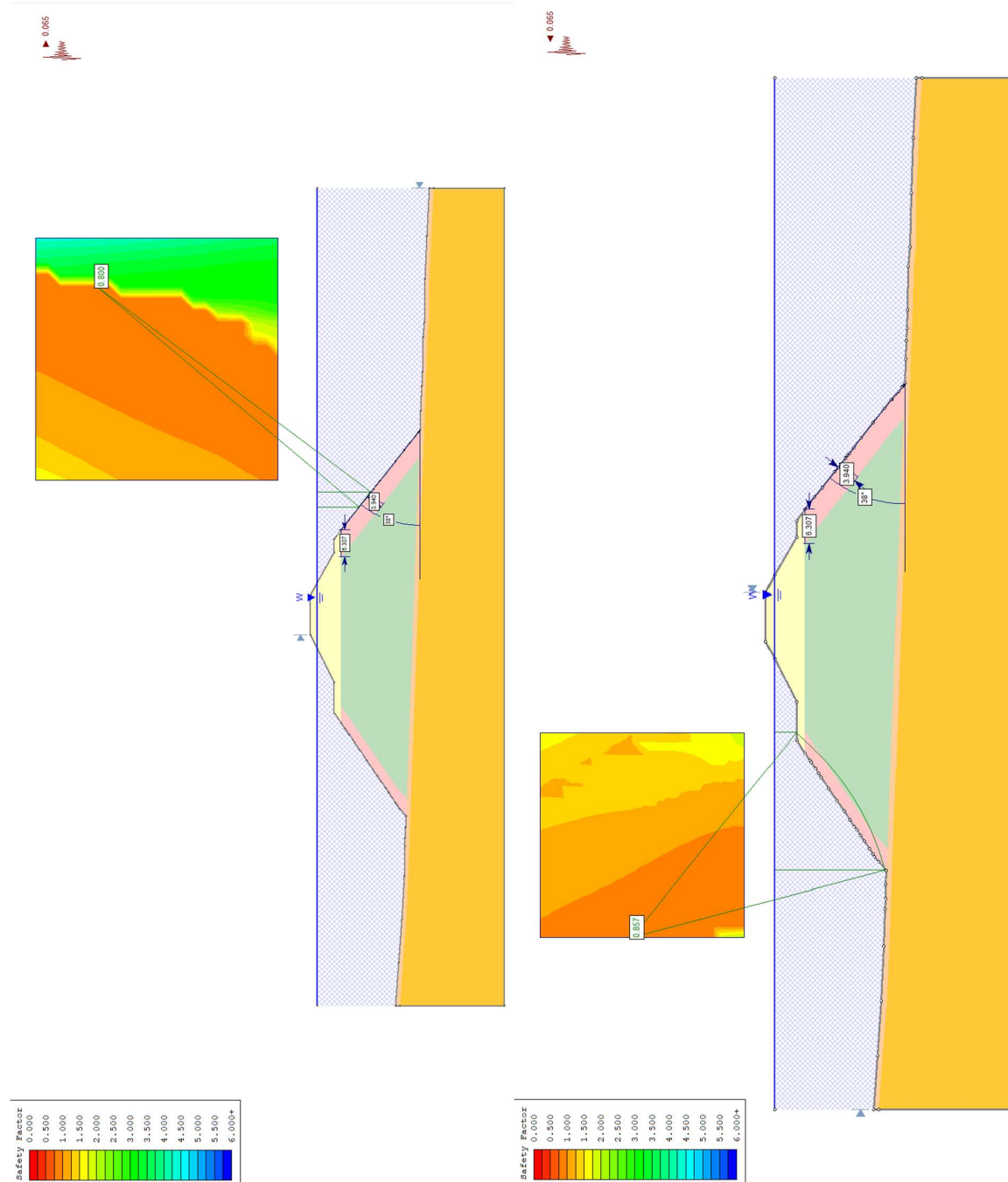
Slika 17. Lijeva i desna strana primarnog nasipa pri djelovanju kritične akceleracije bez uključenog proračunskog pristupa



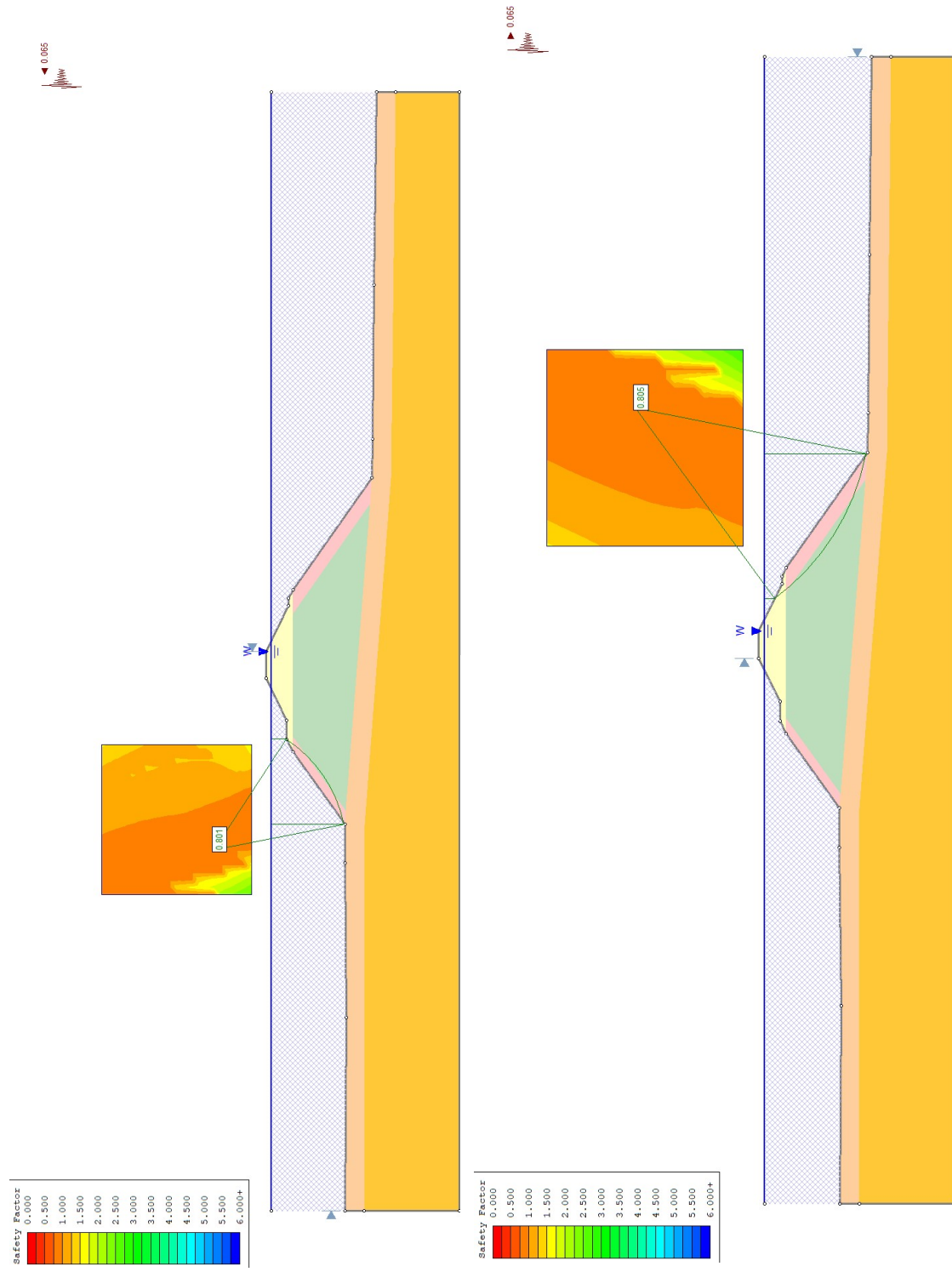
Slika 18. Ljeva i desna strana sekundarnog nasipa pri djelovanju kritične akceleracije bez uključenog proračunskog pristupa

Rezultati provedene analize seizmičke stabilnosti su dokazale da je faktor sigurnosti cca. 1,0 što zadovoljava uvjet. Ipak, treba uzeti u obzir da u prethodno prikazanim i objašnjениm rezultatima u provedbi analize karakteristične vrijednosti parametara tla nisu korigirane parcijalnim faktorima prema PP3.

Ukoliko karakteristične vrijednosti korigiramo sa spomenutim parcijalnim faktorima, to utejeće na rezultate analize.



Slika 19. Ljeva i desna strana primarnog nasipa pri djelovanju kritične akceleracije sa uključenim proračunskim pristupom 3 (Eurocod 7)



Slika 20. Lijeva i desna strana sekundarnog nasipa pri djelovanju kritične akceleracije sa uključenim proračunskim pristupom 3 (Eurocod 7)

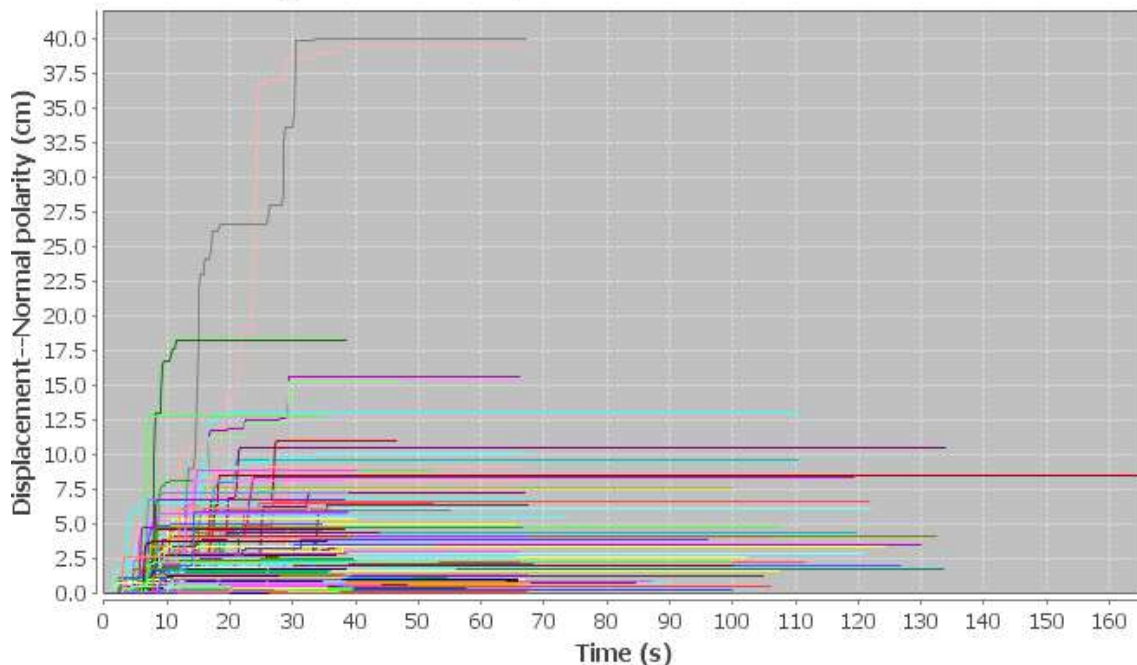
Očekivano, faktori sigurnosti, nakon korekcije vrijednosti karakterističnih parametara tla parcijskim faktorima, znatno su smanjenog iznosa. Time je zaključeno da i nakon izvedene sanacije nasip i dalje nije u seizmičkom pogledu siguran.

3.5. Analiza horizontalnih pomaka vrha nasipa u računalnom programu Slammer

SLAMMER je Java program koji olakšava izvođenje različitih analiza kliznih blokova. Funkcije programa uključuju i složene i pojednostavljene analize krutih kliznih blokova (tj. Newmarkova analiza) kao i fleksibilnih kliznih blokova (tj. razdvojeni i potpuno povezani pristupi). U program su uključene i složene i empirijske pojednostavljene metode. Više od 2100 akcerelograma zabilježenih potresa tla iz PEER baze podataka o kretanju tla uključeno je u program, a korisnici mogu uvesti vlastite zapise o kretanjutla za analizu.

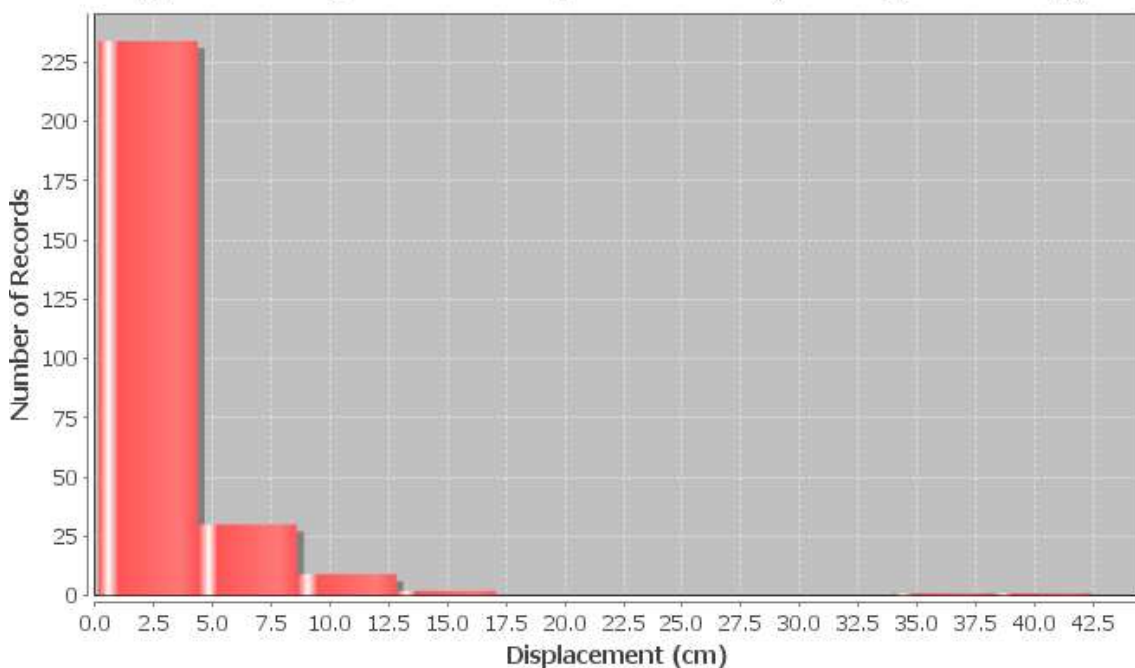
Na temelju određenog horizontalnog kritičnog ubrzanja $a_g = 0,065g$ određeni su maksimalni pomaci u slučaju potresa na temelju baze podataka sa maksimalnih potresima koji su zabilježeni.

Rigid-Block Displacement versus Time



Slika 21. Grafički prikaz pomaka u ovisnosti o trajanju potresa za odabran horizontalno ubrzanje tla

Histogram of Rigid-Block Displacements (Average Polarity)



Slika 22. Grafički prikaz pomaka u ovisnosti o trajanju potresa za odabran horizontalno ubrzanje tla

Na temelju rezultata iz *Slammer-a*, vidljivo je da je maksimalni horizontalni nasipamanji od 0,5 m i to u najkritičnijem trenutku najjačeg potesa koji je zabilježen u zapisima kojima raspolaže *Slammer*.

Predložena sanacija nakon koje su zadovoljeni uvjeti statičke stabilnosti, ali ne i seizmička stabilnost, se prihvaca zbog niza razloga uzetih u obzir. Neki od glavnih su i vjerojatnost pojave najvećeg mogućeg potesa a samim time i horizontalnog pomaka, ekonomski utjecaj dodatnih izvođenja sanacija pored one već predložene (objašnjene i analizirane ranije u ovom radu) te činjenicu da se ovdje radi o objektu koji nema stambenu/poslovnu namjenu zbog koje bi u svakom trenutku na njemu boravio veći broj ljudi, a i ne postoji opasnost od urušavanja bilo kakvih konstrukcija na nasip. Najvažnja je činjenica da i u slučaju najgoreg slučaja potresa opasnost po ljudski život koji bi se u tom trenutku našao na lukobranu nije dovedena u značajnu opasnost koju bi eventualno izazvao horizontalni pomak.

Ukoliko investitor prihvati predloženo rješenje, prihvaca i ekonomsku odgovornost za sanaciju lukobrana. Ukoliko se ikada ostvari slučaj najvećeg potresa, horizontalnog pomaka i posljedičnih oštećenja na lukobranu troškove sanacije istih je dužan podmiriti investitor.

4. Literatura

[1] Roje Bonacci, T. (2012.). *Zemljani radovi*. Split: Sveučilište u Splitu, Fakultet građevinarstva, arhitekture i geodezije

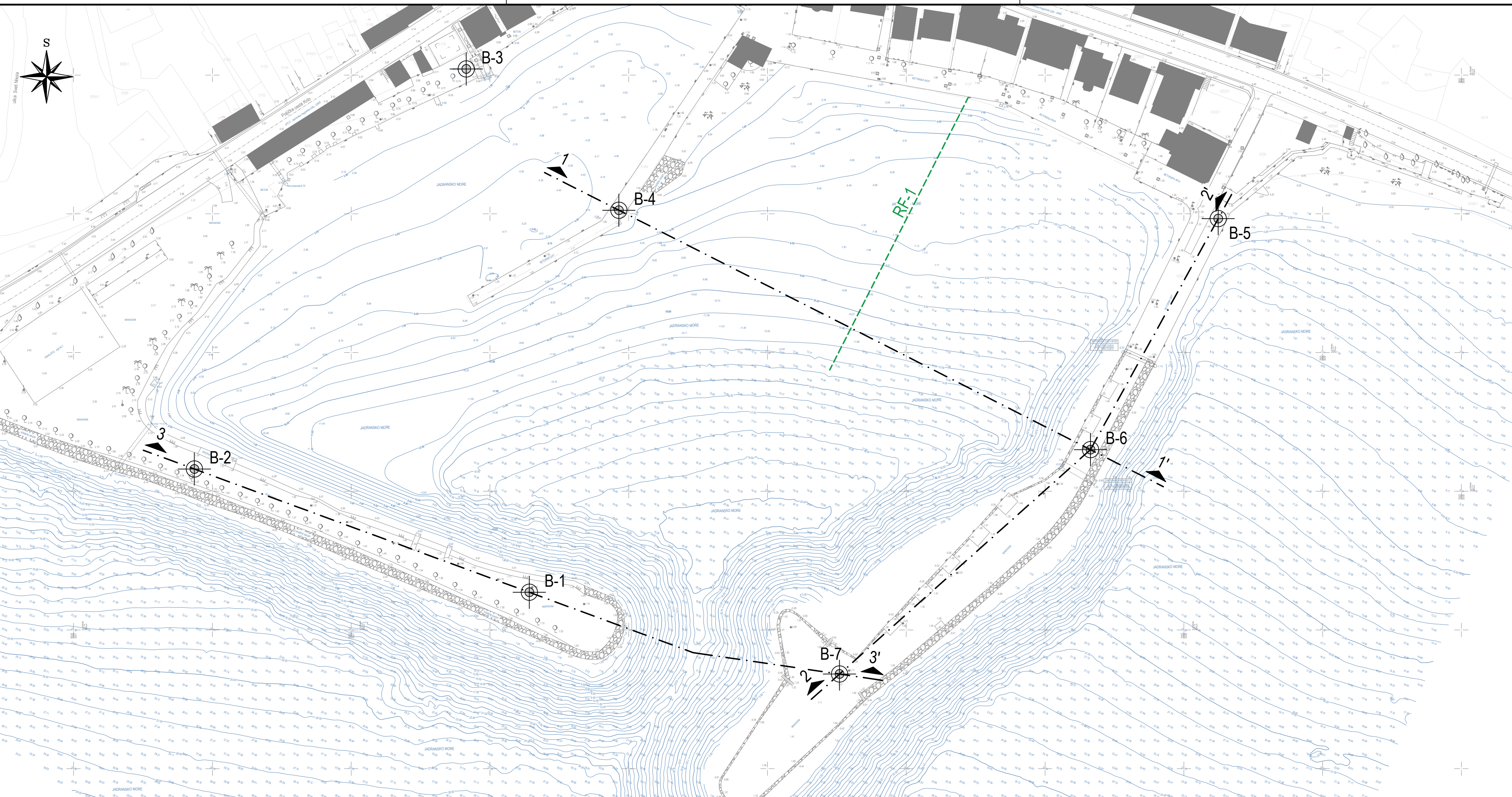
[2] Miščević, P. (2017.). Geotehničko inženjerstvo: predavanja, Fakultet građevinarstva arhitekture i geodezije sveučilišta u Splitu, 2017.

[3] Roje Bonacci, T. (2015.). *Nasute građevine*. Split: Sveučilište u Splitu, Fakultet građevinarstva, arhitekture i geodezije

5. Prilozi

- 5.1. Situacija - MJ 1:1000**
- 5.2. Geotehnički profil bušotine B1**
- 5.3. Geotehnički profil bušotine B7**
- 5.4. Karakteristični poprečni presjek primarnog lukobrana - MJ 1:50 (*)**
- 5.5. Karakteristični poprečni presjek sekundarnog lukobrana - MJ 1:50 (*)**
- 5.6. Geotehnički presjek – MJ 1:500**

(*) Priloženi presjeci sadrže i predviđenu obalnu konstrukciju na samom lukobranu, ali ona nije predmet ove analize.



3.1.1. SITUACIJA S POZICIJAMA ISTRAŽIVAČKIH RADOVA

TUMAČ OZNAKA

	GEOTEHNIČKI PRESJECI
	ISTRAŽIVAČKE BUŠOTINE RIJEKAPROJEKT GEOTEHNIČKO ISTRAŽIVANJE d.o.o., lipanj, 2022.
	POLOŽAJ GEOFIZIČKOG PROFILA

GEOTECH d.o.o.
Ciotina 21, HR-51000 Rijeka
www.geotech.hr - info@geotech.hr



NARUČITELJ:
B.C.D.E. d.o.o.
Hrvatske mornarice 1/J, HR 21000 Split

GRADEVINA:
LUKA OTVORENA ZA JAVNI PROMET KRILO JESENICE

RAZINA PROJEKTA:
GLAVNI PROJEKT

VRSTA DOKUMENTA:
GEOTEHNIČKI ELABORAT

BROJ NASLOV NACRTA:
3.1.1. SITUACIJA S POZICIJAMA ISTRAŽIVAČKIH RADOVA

PROJEKTANT:
dr.sc. MIRKO GROŠIĆ, dipl.ing.grad.
HRVATSKA KOMORA INŽENJERA GRAĐEVINARSTVA
dr.sc. Mirko Grošić
dipl.ing.grad.
Ovlašteni inženjer građevinarstva



NACRT IZRADILA:
VALENTINA KOČIJAN, mag.ing.geol.
Mjesto i datum:
RIJEKA, SRPANJ 2022.
BROJ PROJEKTA:
EL 22-108-01/R1
MJERILO:
1:1000

3.1.4. GEOTEHNIČKI PROFIL BUŠOTINE B-1

KOORDINATA X: 507964,1809

NADMORSKA VISINA: 1,2 m

POČETAK BUŠENJA: 15.06.2022.

DETERMINIRAO: Valentina Kocijan, mag.ing.geol.

VODITELJ BUŠENJA: Marin Birkic, Rijekaprojekt geotehničko istraživanje d.o.o.

KOORDINATA Y: 4813263,5669

TEHNOLOGIJA BUŠENJA: Rotacijsko bušenje

ZAVRŠETAK BUŠENJA: 18.06.2022.

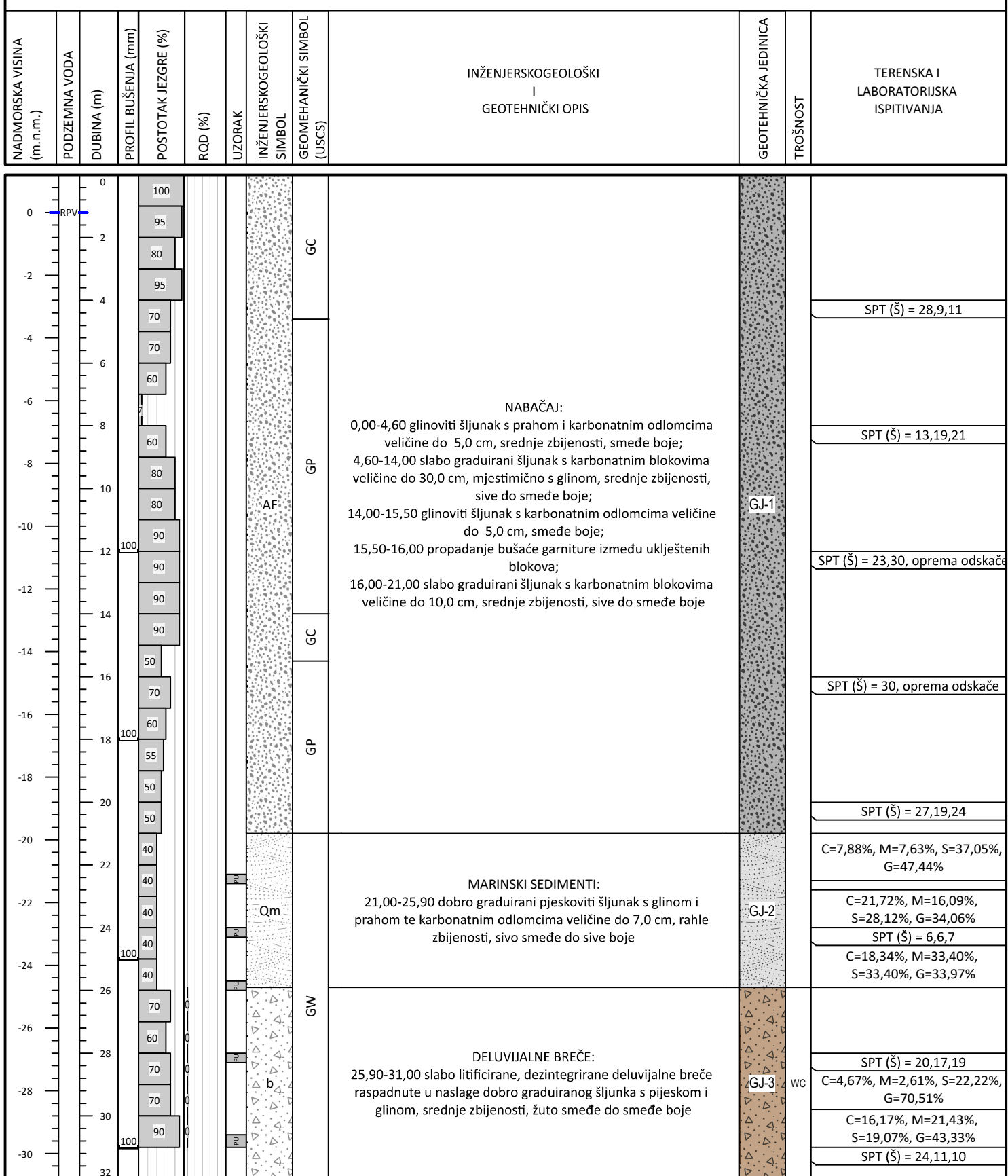
DATUM DETERMINACIJE: 18.06.2022.

INŽENJERSKOGEOLOŠKI
I
GEOTEHNIČKI OPIS

GEOTEHNIČKA JEDINICA

TERENSKA I
LABORATORIJSKA
ISPITIVANJA

TROŠNOST



NAPOMENA: Isplaka se gubi.

NARUČITELJ: B.C.D.E. d.o.o.

Hrvatske mornarice 1/J, HR 21000 Split

GRAĐEVINA: LUKA OTVORENA ZA JAVNI PROMET KRILO
JESENICE

BROJ PROJEKTA: EL
22-108-01 / R0

MJESTO I DATUM:
Rijeka, 07/2022.



BROJ PRILOGA:
3.1.4.

3.1.9. GEOTEHNIČKI PROFIL BUŠOTINE B-7

KOORDINATA X: 508075,9416

NADMORSKA VISINA: 1,15 m

POČETAK BUŠENJA: 27.06.2022.

DETERMINIRAO: Valentina Kocijan, mag.ing.geol.

VODITELJ BUŠENJA: Marin Birkic, Rijekaprojekt geotehničko istraživanje d.o.o.

KOORDINATA Y: 4813234,0953

TEHNOLOGIJA BUŠENJA: Rotacijsko bušenje

ZAVRŠETAK BUŠENJA: 29.06.2022.

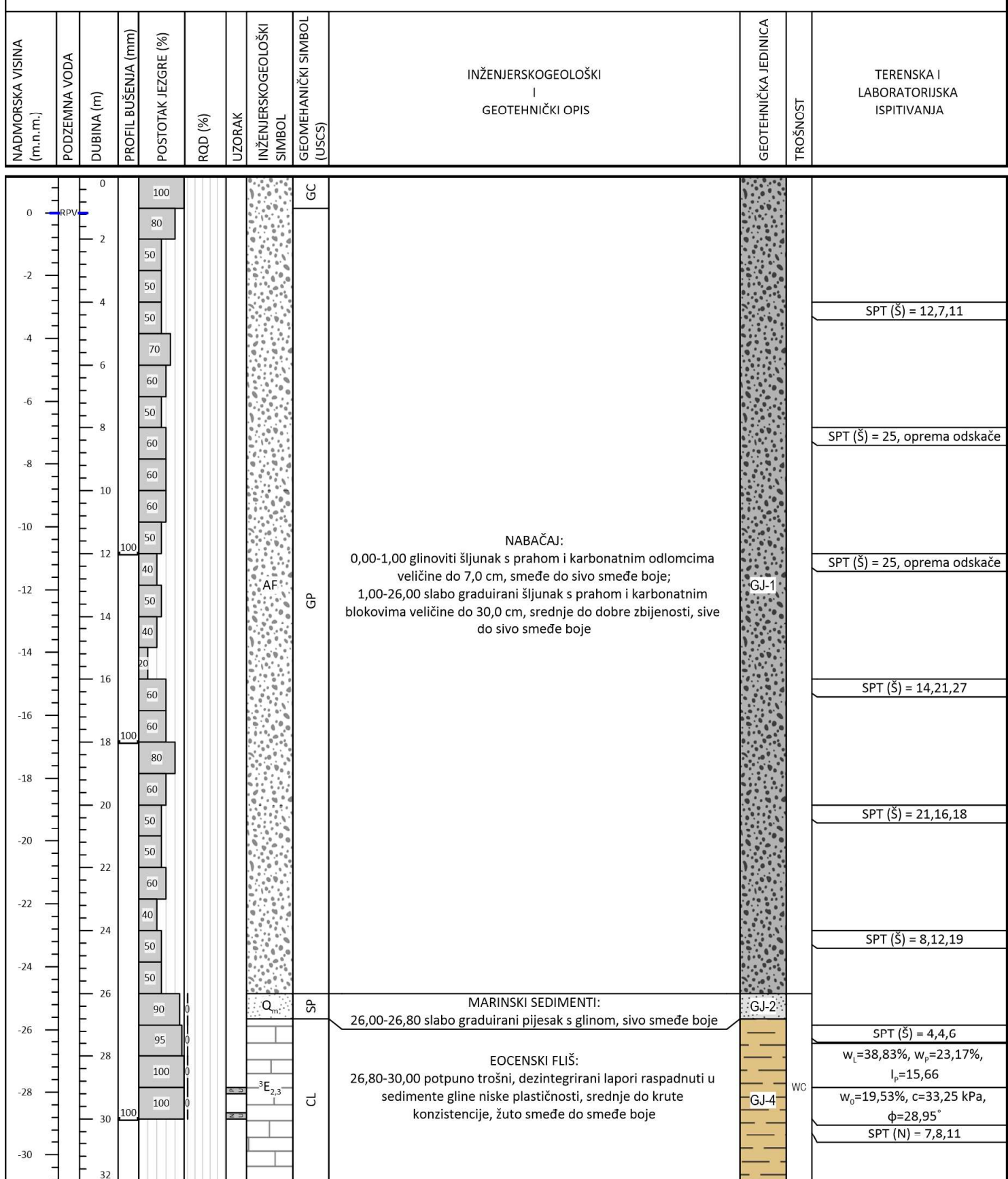
DATUM DETERMINACIJE: 29.06.2022.

INŽENJERSKOGEOLOŠKI
I
GEOTEHNIČKI OPIS

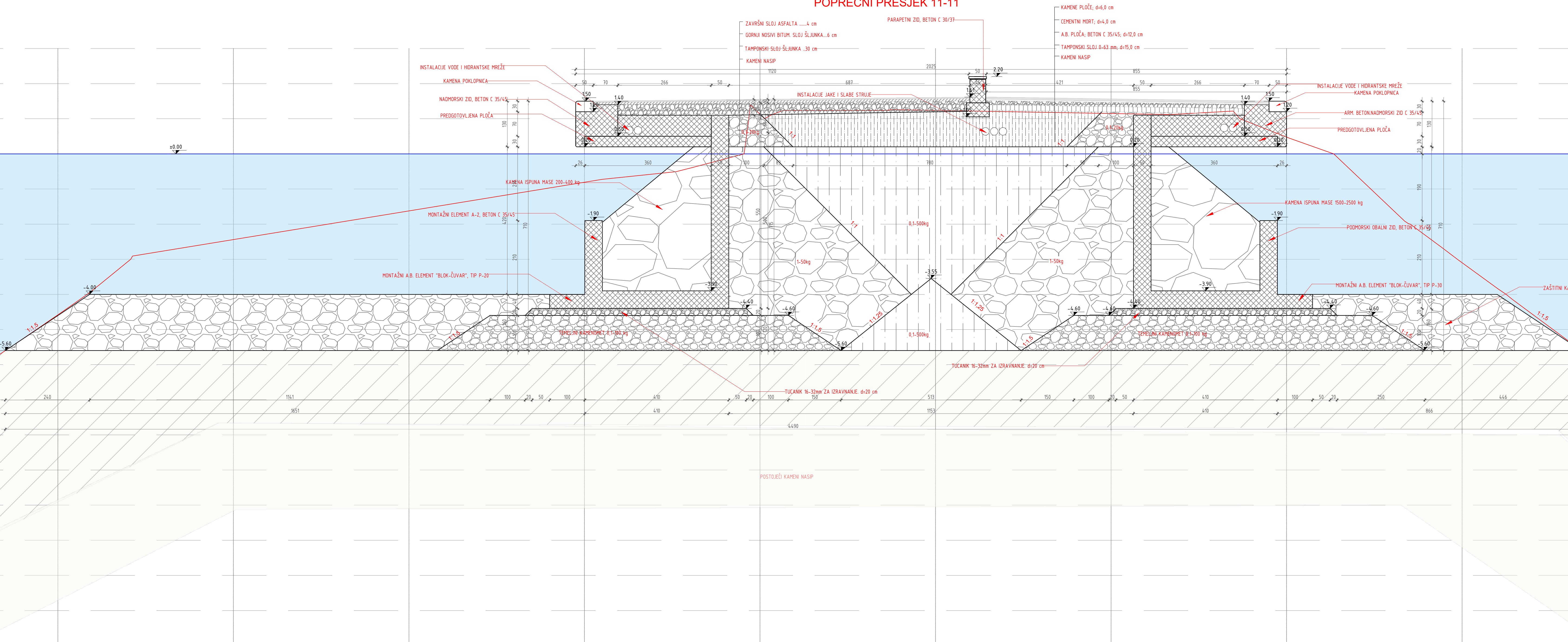
GEOTEHNIČKA JEDINICA

TERENSKA I
LABORATORIJSKA
ISPITIVANJA

TROŠNOST



UKOBRA
RESJEK 11-11



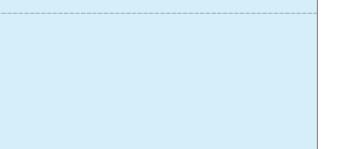
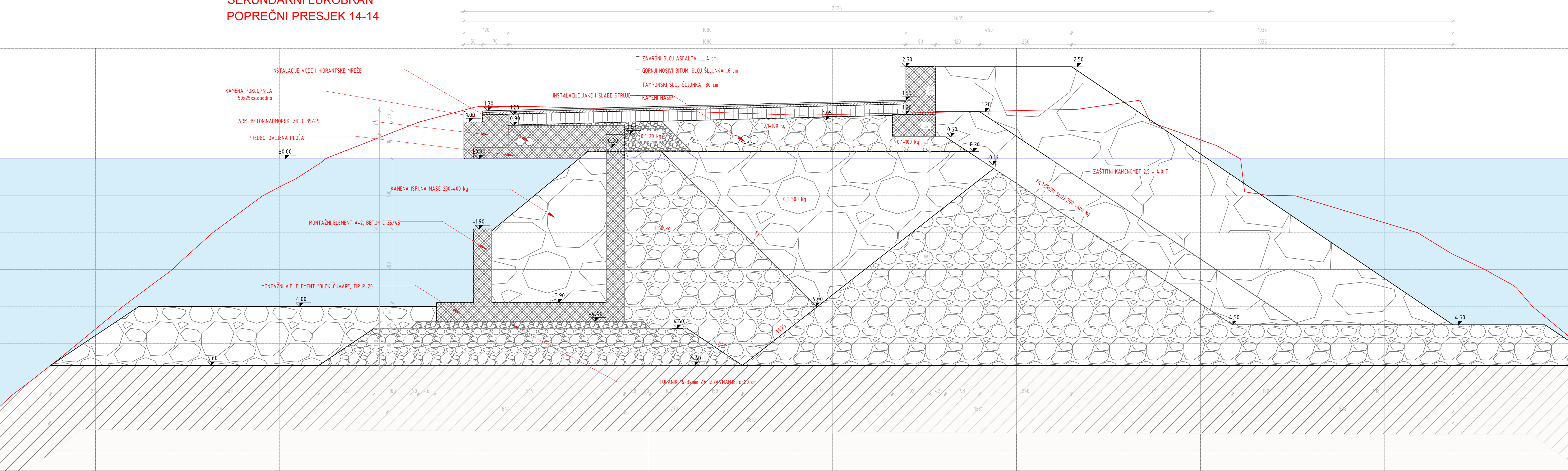
The logo for BGDE, featuring the letters B, G, D, and E in a bold, white, sans-serif font, all contained within a blue square.

BUILDING
CONSULTING
DESIGNING
ENGINEERING

HRVATSKE MORNARICE | I 21000 SPLIT | OIB: 930433

INVESTITOR	Lučka uprava Splitsko-dalmatinske županije, Prilaz braće Kaliterna 10, 21000 Split, OIB:27478788865		
PROJEKT	GLAVNI PROJEKT POMORSKIH KONSTRUKCIJA		
GRAĐEVINA	LUKA OTVORENA ZA JAVNI PROMET KRILO JESENICE (k.č. 5176, 8900, 8902, 8863, 5179, 5180, 5185, 5183/1, 5186, 5187, 5205, 8864, 5206, 5208/1, 5207, 8850/3, 5203/1, 5203/2, i 5201/1 sve k.o. Jesenice (novoformirane k.č. 8900, 8902, 8877, 8878, 8881, 8882, 8883, 8884, 8924, 8925 i 8926 sve k.o. Jesenice)), - faza 2.		
Glavni projektant	Predrag Bilbija, dipl. ing. građ.	Pečat	
Vrsta projekta	Građevinski projekt		
Razina projekta	Glavni projekt		
Projektant konstrukcije	Predrag Bilbija, dipl. ing. građ.	Z.O.P	7/22
		T.D.	TD 7/22
Suradnici	Milko Batinić, mag.ing.aedif., Petra Galošić, mag. ing. arch. Maja Sladoja, bacc. ing. aedif. Karla Buhić, bacc. ing. aedif. Ivana Ćudina, bacc. ing. aedif.	Mjerilo:	1:50
		Datum:	Rujan 2022
Br. revizije:	1	Br. priloga:	19
Sadržaj lista:	Primarni lukobran - Presjek 11-11		MAPA I.

**SEKUNDARNI LUKOBRAK
POPREČNI PRESJEK 14-14**



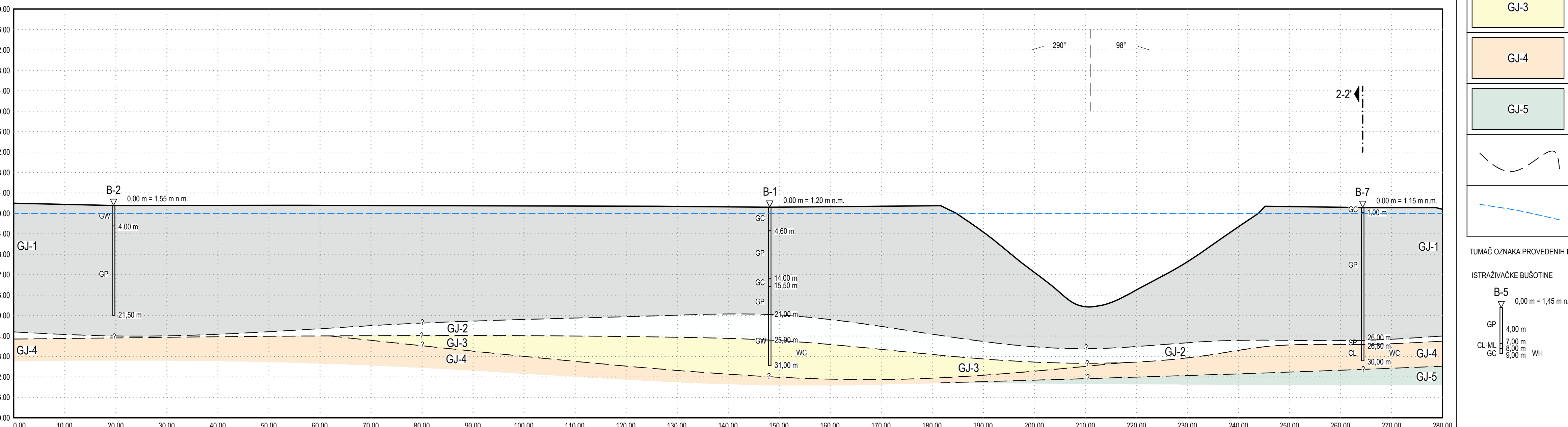
BUILDING
CONSULTING
DESIGNING
ENGINEERING

HRVATSKE MORNARICE I/J 21000 SPLIT; OIB: 9304339871

INVESTITOR	Lučka uprava Splitsko-dalmatinske županije, Prilaz braće Kalitera 10, 21000 Split, OIB: 2747878865	
PROJEKT	GLAVNI PROJEKT POMORSKIH KONSTRUKCIJA	
GRAĐEVINA	LUKA OTVORENA ZA JAVNI PROMET KRILO JESENICE (k.č. 5176, 8900, 8902, 8863, 5179, 5180, 5185, 5183/1, 5186, 5187, 5205, 8864, 5206, 5208/1, 5207, 8850/3, 5203/1, 5203/2, 5201/1 sve k.o. Jesenice (novoperformirane k.č. 8900, 8902, 8877, 8878, 8881, 8882, 8883, 8884, 8924, 8925 i 8926 sve k.o. Jesenice), - faza 2.	
Glavni projektant	Predrag Bilbija, dipl. ing. grad.	Pečat
Vrsta projekta	Gradičinski projekt	
Razina projekta	Glavni projekt	
Projektant konstrukcije	Predrag Bilbija, dipl. ing. grad.	Z.O.P 7/22 T.D. TD 7/22
Suradnici	Milko Batinić, mag.ing.aedif., Petra Galošić, mag. ing. arch. Maja Sladoja, bacc. ing. aedif. Karla Buhić, bacc. ing. aedif. Ivana Čudina, bacc. ing. aedif.	Mjerilo: 1:50 Datum: Rujan 2022
Br. revizije:	1	Br. priloga: 36
Sadržaj lista:	Sekundarni lukobran - Presjek 14-14	
	MAPA I.	

3.1.3. GEOTEHNIČKI PRESJECI - LIST 2

GEOTEHNIČKI PRESJEK 3-3'



TUMAČ GEOTEHNIČKIH OZNAKA

GJ-1	NABAĆAJ (AF): NASLAGE SLABO GRADUIRANOG ŠLJUNKA (GP), SREDNJE DO DOBRE ZBIJENOSTI
GJ-2	MARINSKI SEDIMENTI (Q_m): NASLAGE DOBRO GRADUIRANOG Pjeskovitog Šljunka (GW) S GLINOM I PRAHOM, SREDNJE ZBIJENOSTI
GJ-3	DELUVIJALNE BREĆE (d): DEZINTEGRIRANA (D) STIJENSKA MASA / NASLAGE DOBRO GRADUIRANOG ŠLJUNKA (GW) S GLINOM, SREDNJE ZBIJENOSTI
GJ-4	POTPUNO TROŠNI LAPORI ($E_{2,3}$): DEZINTEGRIRANA STIJENSKA MASA LAPORA / GLINA NISKE PLASTIČNOSTI, SREDNJE DO KRUTE KONZISTENCIJE
GJ-5	VISOKO TROŠNI LAPORI ($E_{2,3}$): BLOKOVITO-POREMEĆENA (B/D), SLABA STIJENSKA MASA LAPORA / NASLAGE GLINOVITOG ŠLJUNKA (GC), DOBRE ZBIJENOSTI

TUMAČ OZNAKA PROVEDENIH ISTRAŽIVAČKIH RADОVA

ISTRAŽIVAČKE BUŠOTINE

B-5	0,00 m = 1,45 m n.m.
GP	4,00 m
CL-ML	7,00 m
GC	8,00 m
WH	9,00 m

geotech
GEOTECH d.o.o.
Ciočina 21, HR-51000 Rijeka
www.geotech.hr • info@geotech.hr

NARUČITELJ:
B.C.D.E.d.o.o.
Hrvatske mornarice 1/J, HR 21000 Split

GRADEVINA:
LUKA OTVORENA ZA JAVNI PROMET KRILO JESENICE

RAZINA PROJEKTA:
GLAVNI PROJEKT

VRSTA DOKUMENTA:
GEOTEHNIČKI ELABORAT

BROJ I NALOGA NACRTA:

3.1.3. GEOTEHNIČKI PRESJECI - LIST 2

PROJEKTANT:
dr.sc. MIRKO GROŠIĆ, dipl.ing.grad.
Hrvatska komora inženjera građevinarstva
dr.sc. Mirko Grošić
dipl.ing.grad.
Ovlašteni inženjer građevinarstva
G 3923

NACRT IZRADILA:
VALENTINA KOĆUJAN, mag.ing.geo.
Mjesto i datum:
RJUČKA SRPANJ 2022.

MJERILO:
EL 22-108-01/R0
1:500